

2011-2012

Symétrie en Physique: Algèbres de Lie, Théorie des groupes et Représentations

Adil Belhaj¹

Centre of Physics and Mathematics, CPM-CNESTEN, Rabat, Morocco

November 27, 2024

¹belhaj@unizar.es

Abstract

These notes form an introduction to Lie algebras and group theory. Most of the material can be found in many works by various authors given in the list of references. The reader is referred to such works for more detail.

Ce travail est une note de cours sur la symétrie en physique: Algèbres de Lie et la théorie des groupes que nous avons préparés pour les étudiants de DESA et Master Physique Mathématique: Lab de Physique des Hautes Energies: Modélisation et Simulation, Faculté des Sciences, Université Mohammed V Agdal-Rabat, Maroc; et également pour les doctorants en physique théorique de l'Université de Zaragoza, Espagne. Ce sont des notes préliminaires destinées pour des jeunes chercheurs.

Remerciement:

Je tiens à exprimer mes profonds remerciements à ma chère mère pour le soutien moral et le support social sans égal.

Contents

1	Introduction Générale	5
2	Notions sur les algèbres de Lie	7
2.1	Définitions et exemples	7
2.1.1	Définitions	7
2.1.2	Relations entre les générateurs d'une algèbre de Lie	8
2.1.3	Exemples	9
2.2	Sous algèbres de Lie	9
2.2.1	Définitions	9
2.2.2	Exemples	10
2.3	Algèbres quotients	11
2.4	Homomorphismes d'une algèbre de Lie	11
2.4.1	Définitions	11
2.4.2	Représentation adjointe	13
2.5	Algèbre de Lie des matrices	13
2.5.1	Algèbre $sl(n, C)$	14
2.5.2	Algèbre $su(n, C)$	15
2.5.3	Algèbres de Lie $so(n)$ et $sp(n)$	16
2.5.4	Classification des algèbres de Lie	21
3	Algèbre de Lie $sl(2, C)$ et ses représentations	22
3.1	Algèbre de Lie $sl(2, C)$	22
3.2	Représentations de l'algèbre de Lie $sl(2, C)$	23

3.2.1	Réalisations différentielles	23
3.2.2	Représentations matricielles	24
3.3	Les modules de $sl(2, C)$	24
3.3.1	Définitions	25
3.3.2	Poid maximal et vecteur maximal	26
3.4	Modules irréductibles de $sl(2, C)$	26
4	Sous algèbres de Cartan et systèmes des racines	30
4.1	Sous algèbre de Cartan	30
4.1.1	Sous algèbre Torique	30
4.2	Décomposition de Cartan	32
4.3	Forme de Killing	33
4.4	Système de racines	35
5	Système des racines	39
5.1	Espace Euclidien	39
5.1.1	Réflexions	40
5.2	Systèmes des Racines	41
5.3	Groupe de Weyl	43
5.4	Classification des racines	44
5.4.1	Positions relatives des racines	44
5.4.2	Système de racines de <i>rang</i> 1	45
5.4.3	Système de racines de <i>rang</i> 2	45
5.5	Racines simples	47
6	Matrices de Cartan et diagrammes de Dynkin	49
6.1	Matrice de Cartan	49
6.1.1	Définition	49
6.1.2	Exemples	50
6.1.3	Propriétés de la matrice de Cartan	50
6.2	Graphes de Coxter et diagrammes de Dynkin	51

6.3	Graphes de Coxter	51
6.3.1	Diagrammes de Dynkin	52
7	Généralités sur la théorie des groupes	55
7.1	Structure du groupe	55
7.2	Exemples	57
7.2.1	Groupes finis	57
7.2.2	Groupes discrets infinis	58
7.2.3	Groupes continus	58
7.3	Classe d'un groupe	59
7.4	Sous groupes	59
7.4.1	Définitions	59
7.4.2	Exemples	60
7.5	Homomorphismes	62
8	Représentations des Groupes	64
8.1	Définitions et exemples	64
8.1.1	Représentations	64
8.1.2	Représentation fidèle	65
8.1.3	Représentations irréductibles et caractères	67
8.2	Représentation des groupes finis	69
8.3	Tables de caractères	71
9	Groupes de Lie	76
9.1	Le groupe de Lie $SO(2)$	76
9.2	Le groupe $SU(2)$	78
9.3	Le groupe $SO(3)$	80
9.4	Représentations de $SO(3)$ et $SU(2)$	81
9.5	Les groupes $SU(n)$ et $SO(n)$	83
9.5.1	Le groupe $SU(n)$	83
9.5.2	Le groupe $SO(n)$	84

Chapter 1

Introduction Générale

Les algèbres de Lie et la théorie des groupes sont largement utilisées dans de nombreuses branches de la physique et de la chimie. Actuellement, elles peuvent être considérées comme une composante essentielle dans l'étude de la physique des hautes énergies, la physique mathématique et la matière condensée. En particulier, elles apparaissent dans la physique des particules et la construction de la théorie de jauge à quatre dimensions, à partir de la théorie des cordes et des théories M et F. Rappelons que la théorie des cordes est l'une des voies envisagées pour régler une des questions majeures de la physique des hautes énergies: fournir une description de la gravité quantique c'est-à-dire l'unification de la mécanique quantique et de la théorie de la relativité générale. Cependant, il existe en fait cinq théories des supercordes. Elles ont en commun un univers à 10 dimensions qui ne possède pas de tachyons et supposent l'existence d'une supersymétrie sur la surface d'univers des supercordes. Ces modèles sont classés comme suit:

1. Type I: supercordes ouvertes ou fermées, avec le groupe de symétrie $SO(32)$
2. Type IIA: supercordes fermées uniquement, non-chiralité
3. Type IIB: supercordes fermées uniquement, chiralité
4. Type HO: supercordes fermées uniquement, hétérotique avec le groupe de symétrie $SO(32)$

5. Type HE: supercordes fermées uniquement, hétérotique, avec le groupe de symétrie $E_8 \times E_8$.

A partir de cette classification, nous pouvons considérer différents exemples des algèbres de Lie. Nanmoins, l'absence de telles symétries dans certains modèles de supercordes peuvent être remédiée en faisant le lien entre la géométrie et les algèbres de Lie, en envisageant plusieurs scénarios de compactification.

Ces notes offrent une introduction aux algèbres de Lie, la théorie des groupes, ainsi que ses représentations. Ils comprennent de nombreux exemples et exercices. Ils sont destinés aux étudiants en physique des hautes energies, la physique mathématique et la physique de la matière condensée.

Le plan de ces notes est comme suit:

Le deuxième chapitre est une introduction sur les algèbres de Lie. Cette partie présente les notions de base. En particulier, nous introduisons une partie traitant la classification des algèbres de type ADE.

Le troisième chapitre est consacré essentiellement à introduire quelques aspects de la symétrie $sl(2, C)$ et ses représentations. Pour ce faire, nous commençons par introduire $sl(2, C)$ et nous présentons dans la suite de ce chapitre une manière de construire ses représentations.

Dans le quatrième chapitre on étudie les sous algèbres de Cartan et les systèmes de racines.

Le cinquième chapitre est consacré à l'étude des systèmes des racines. Nous donnons la classification ADE.

Dans le sixième chapitre, nous étudions les matrices de Cartan et nous donnons également la classification des diagrammes de Dynkin.

Le septième chapitre présente quelques généralités sur la théorie des groupes.

Dans le huitième chapitre, nous étudions les représentations des groupes.

Le dernier chapitre est consacré à une discussion des représentations des groupes de Lie.

Chapter 2

Notions sur les algèbres de Lie

Dans ce chapitre, nous allons présenter quelques notions sur les algèbres de Lie. En premier temps, nous donnons des définitions et des exemples simples. On termine ce chapitre par une classification des algèbres de Lie de type ADE.

2.1 Définitions et exemples

2.1.1 Définitions

Une algèbre de Lie g est un espace vectoriel sur un corps C (où R) muni de l'opération $[\cdot, \cdot]$:

$$\begin{aligned} [\cdot, \cdot] : g \cdot g &\rightarrow g \\ (x, y) &\rightarrow [x, y] = xy - yx \end{aligned}$$

vérifiant les trois conditions suivantes:

1. linéarité

$$[\alpha x + \beta y, z] = \alpha [x, z] + \beta [y, z], \quad \alpha, \beta \in C$$

2. antisymétrie

$$[x, y] = -[y, x]$$

3. identité de Jacobi

$$[[x, y], z] + [[y, z], x] + [[z, x], y] = 0$$

pour tous $x, y, z \in g$.

Remarques:

1. L'opération $[,]$ est appelée le crochet de Lie ou bien le commutateur de Lie.
2. La dimension d'une algèbre de Lie g est la dimension en tant qu'espace vectoriel.
3. Lorsque la dimension de l'algèbre de Lie g est finie, on peut construire une base.

2.1.2 Relations entre les générateurs d'une algèbre de Lie

Soit g une algèbre de Lie ayant une base $\{t_a, a = 1, \dots, \dim g\}$. La structure d'algèbre de Lie est donnée aussi par des relations de commutation entre les générateurs t_a comme suit

$$[t^a, t^b] = c_c^{ab} t^c, \quad a, b, c = 1, \dots, \dim g$$

où c_c^{ab} sont des tenseurs antisymétriques constantes

$$c_c^{ab} = -c_c^{ba}.$$

Remarques:

1. Les coefficients c_c^{ab} sont appelés constantes de structure.
2. Si tous les crochets de Lie sont nuls, l'algèbre est dite abélienne.
3. Si deux algèbres de dimension finie ont les mêmes relations de commutation, elles sont isomorphes.

2.1.3 Exemples

Donnons quelques exemples d'algèbres de Lie que nous rencontrons en physique et nous les exprimons en fonction de leurs constantes de structure.

Exemple 1: Algèbre de Heisenberg.

Notre premier exemple est l'algèbre de Heisenberg qui apparaît dans les relations de la quantification canonique de la mécanique quantique. Elle est engendrée par le système des générateurs $\{a^+, a^-, I\}$. Sa structure est donnée par

$$[a^+, a^-] = I, \quad [a^\pm, a^\pm] = 0, \quad [a^\pm, I] = 0.$$

Exemple 2: Algèbre de Lie $so(3)$. On considère l'algèbre des rotations à 3 dimensions. La structure de $so(3)$ est donnée par les relations de commutation suivantes

$$[t^i, t^j] = -i\varepsilon^{ijk}t_k,$$

où ε^{ijk} est le tenseur de Levi-Civita complètement antisymétrique $\varepsilon^{ijk} = -\varepsilon^{jik}$, $\varepsilon^{iik} = 0$, $\varepsilon^{ijk} = 1$, $i \neq j \neq k$.

Exemple 3: L'ensemble $M_2(C)$ des matrices d'ordre 2, muni de la multiplication matricielle,

$$M = \begin{pmatrix} \alpha & \beta \\ \gamma & \sigma \end{pmatrix} = \alpha \begin{pmatrix} 1 & 0 \\ 0 & 0 \end{pmatrix} + \beta \begin{pmatrix} 0 & 1 \\ 0 & 0 \end{pmatrix} + \gamma \begin{pmatrix} 0 & 0 \\ 1 & 0 \end{pmatrix} + \sigma \begin{pmatrix} 0 & 0 \\ 0 & 1 \end{pmatrix}$$

est considéré comme une algèbre de Lie de dimension 4 complexes.

2.2 Sous algèbres de Lie

2.2.1 Définitions

Définition 1:

Soit g_0 un sous espace vectoriel d'une algèbre de Lie g . g_0 est dite une sous algèbre de Lie de g si et seulement si

$$[g_0, g_0] \subset g_0.$$

Autrement,

$$\forall x \in g_0, \text{ et } y \in g_0 \text{ alors } [x, y] \in g_0.$$

Définition 2:

Soit $I \subset g$ (sous algèbre de Lie de g). I est dite un idéal de g si et seulement si

$$[I, g] \subset I.$$

Autrement,

$$\forall x \in I, y \in g \text{ alors } [x, y] \in I.$$

2.2.2 Exemples

Nous présentons quelques exemples.

Exemple 1: $\{0\}$ est un idéal de g (idéal trivial).

Exemple 2: L'algèbre de Lie g est elle-même un idéal. En effet, on a

$$[g, g] \subset g.$$

Exemple 3: Le centre d'une algèbre de Lie.

Le centre de g noté $Z(g)$ est défini par

$$Z(g) = \{x, [x, y] = 0, \forall y \in g\}.$$

$Z(g)$ est un idéal abélien de g .

Démonstration:

Pour démontrer ça, il faut vérifier que si $x \in Z(g)$ alors $[x, y] \in Z(g)$, pour tout $y \in g$.

En effet, nous avons

$$\begin{aligned} x \in z(g) \quad \text{alors} \quad [x, y] &= 0 \\ [x, x] &\subset Z(g). \end{aligned}$$

Exemple 4: Dérivation d'une algèbre de Lie.

Soit g une algèbre de Lie. On appelle algèbre de Lie dérivée de g l'ensemble défini par $g' = [g, g]$.

g' est un idéal $[g', g] \subset g'$.

Démonstration:

Puisque on a $[g', g] = [[g, g], g] \subset [g, g] \subset g'$.

2.3 Algèbres quotients

Soit g une algèbre de Lie. Il est naturel de factoriser par un idéal pour construire un espace quotient de g par un idéal I . L'espace quotient est défini par

$$g_I = \{\dot{x}, \dot{x} = x + \mu, x \in g, \mu \in I\}.$$

Notons que g_I possède aussi une structure d'algèbre de Lie

$$[g_I, g_I] \subset g_I.$$

Calculons le commutateur $[\dot{x}, \dot{y}]$. En effet, nous avons

$$\begin{aligned} [\dot{x}, \dot{y}] &= [x + \mu, y + \mu] \\ &= [x, y] + I \subset g_I. \end{aligned}$$

2.4 Homomorphismes d'une algèbre de Lie

2.4.1 Définitions

Rappelons que la loi d'une algèbre de Lie est abstraite. En pratique, on a besoin des réalisations (représentations) pour l'exploiter dans des applications physiques. En générale, on peut parler des représentations matricielles ou bien des réalisations par des opérateurs différentiels agissant sur des espaces vectoriels. Ce passage est assuré par un homomorphisme de l'algèbre.

Définition 1

Soient g et g' deux algèbres de Lie. Un homomorphisme (représentation) ϕ d'une algèbre de Lie est défini par:

$$\begin{aligned}\phi: g &\rightarrow g' \\ x &\rightarrow \phi(x),\end{aligned}$$

vérifiant les conditions suivantes

$$\begin{aligned}\phi(\alpha x + \beta y) &= \alpha\phi(x) + \beta\phi(y) \\ \phi([x, y]) &= [\phi(x), \phi(y)].\end{aligned}$$

pour tous x et y dans g . α et β sont des complexes.

Définition

Une représentation de g est un homomorphisme d'algèbre de Lie de g dans $gl(V)$ où $gl(V)$ est l'algèbre de Lie associée au groupe des automorphismes $GL(V)$, où V est un espace vectoriel:

$$\begin{aligned}\phi: g &\rightarrow gl(V) \\ x &\rightarrow \phi(x) = \text{matrice, OP.}\end{aligned}$$

où OP est un opérateur différentiel.

Remarque: Si l'espace vectoriel V est de dimension n , la représentation $g \rightarrow gl(V)$ est dite une représentation de dimension n .

Exemple

On reprend l'exemple de l'algèbre de Lie de Heisenberg. Rappelons qu'on définit l'algèbre de Heisenberg comme suit:

$$[a^+, a^-] = I.$$

Dans le plan complexe paramétrisé par z , une réalisation est donnée par

$$\begin{aligned}\phi(a^+) &= z \\ \phi(a^-) &= -\frac{\partial}{\partial z} \\ \phi(I) &= 1.\end{aligned}$$

En effet, on peut vérifier facilement que

$$\begin{aligned}[\phi(a^+), \phi(a^-)] &= \phi(a^+)\phi(a^-) - \phi(a^-)\phi(a^+) \\ &= -z\frac{\partial}{\partial z} + \frac{\partial}{\partial z}z \\ &= -0 + 1 \\ &= \phi(I).\end{aligned}$$

2.4.2 Représentation adjointe

Il existe une représentation donnée par les constantes de structure d'une algèbre de Lie.

On l'appelle la représentation adjointe. Elle est définie par la relation suivante

$$\begin{aligned}ad : g &\rightarrow gl(g) \\ x &\rightarrow [x, \cdot]\end{aligned}$$

où $ad_x \cdot y = ad_x(y) = [x, y]$.

Proposition: La dimension de la représentation adjointe est la dimension de l'espace vectoriel sur lequel elle agit. Sa dimension coïncide avec celle de l'algèbre g .

2.5 Algèbre de Lie des matrices

L'algèbre des matrices $n \times n$ munie de la multiplication matricielle est une algèbre de Lie de dimension n^2 . On la note $gl(n, C)$. Par la suite, on note un élément de $gl(n, C)$ par

$$X = (x_{ij}), \quad i, j = 1, \dots, n.$$

Dans le reste de cette section, nous étudions les sous algèbres de $gl(n, C)$.

2.5.1 Algèbre $sl(n, C)$

Notre première sous algèbre de $gl(n, C)$ exemple est l'ensemble des matrices de trace nulle.

Elle est définie par

$$sl(n, C) = \{X \in gl(n, C), \operatorname{tr} X = 0\}.$$

Remarque: la dimension de $sl(n, C)$ est $n^2 - 1$.

Exemple: Prenons l'exemple de l'algèbre $sl(2, C)$ qui est l'ensemble des matrices 2×2 avec la trace nulle

$$sl(2, C) = \{X \in gl(2, C), \operatorname{tr} X = 0\}.$$

Si X est une matrice de $gl(2)$, alors elle peut s'écrire comme suit

$$X = \begin{pmatrix} a & b \\ c & d \end{pmatrix}.$$

La condition $\operatorname{tr} X = 0$ implique que $a + d = 0$. On déduit que $a = -d$. Cela nous permet de trouver

$$X = \begin{pmatrix} a & b \\ c & -a \end{pmatrix}.$$

Cette matrice peut s'écrire également sous la forme suivante

$$X = \begin{pmatrix} a & b \\ c & -a \end{pmatrix} = a \begin{pmatrix} 1 & 0 \\ 0 & -1 \end{pmatrix} + b \begin{pmatrix} 0 & 1 \\ 0 & 0 \end{pmatrix} + c \begin{pmatrix} 0 & 0 \\ 1 & 0 \end{pmatrix}$$

où $a, b, c \in C$. On déduit que la dimension de $sl(2, C)$ est 3 complexes ($3 = 2^2 - 1$).

Si on travaille dans la base

$$J_0 = \begin{pmatrix} 1 & 0 \\ 0 & -1 \end{pmatrix}, \quad J_+ = \begin{pmatrix} 0 & 1 \\ 0 & 0 \end{pmatrix}, \quad J_- = \begin{pmatrix} 0 & 0 \\ 1 & 0 \end{pmatrix},$$

on peut calculer les relations de commutation de $sl(2, C)$ comme suit

$$\begin{aligned} [J_0, J_+] &= 2J_+ \\ [J_0, J_-] &= -2J_- \\ [J_+, J_-] &= J_0. \end{aligned}$$

2.5.2 Algèbre $su(n, C)$

Le deuxième exemple sera les matrices $n \times n$ anti-hermétique de trace nulle

$$su(n) = \{X \in gl(n, C), X + X^+ = 0, trX = 0\}.$$

La dimension de $su(n, C)$ est $n^2 - 1$, ($\dim su(n) = n^2 - 1$).

Exemple: L'algèbre de Lie $su(2)$

$su(2)$ est défini par

$$\{X \in gl(2, C), X + X^+ = 0, trX = 0\}$$

qui est un espace vectoriel (de dim 3) des matrices complexes anti-hermétiques 2×2 de trace nulle. En effet, considérons un élément X de $gl(2, C)$

$$X = \begin{pmatrix} a & b \\ c & d \end{pmatrix}.$$

Les contraintes sur la matrice X sont

$$\begin{aligned} a + d &= 0 \\ a &= -\bar{a}, d = -\bar{d} \\ b &= -\bar{c} \\ c &= -\bar{b} \end{aligned}$$

La solution de ces contraintes est donnée par les relations suivantes

$$\begin{aligned} a &= ix_3 \\ b &= x_2 + ix_1 \\ c &= -x_2 + ix_1 \end{aligned}$$

où x_1, x_2 et $x_3 \in \mathbb{R}$. La matrice X peut s'écrire comme

$$X = \begin{pmatrix} ix_3 & x_2 + ix_1 \\ -x_2 + ix_1 & -ix_3 \end{pmatrix}.$$

Nous observons alors que la dimension de $su(2)$ est 3 réel. Une base de $su(2)$ est donnée par

$$I = \begin{pmatrix} 0 & 1 \\ -1 & 0 \end{pmatrix}, \quad J = \begin{pmatrix} 0 & i \\ i & 0 \end{pmatrix}, \quad K = \begin{pmatrix} i & 0 \\ 0 & -i \end{pmatrix}.$$

On constate que les relations de commutation de $su(2)$ sont comme suit

$$\begin{aligned} [I, J] &= IJ - JI = 2K \\ [J, K] &= JK - KJ = 2I \\ [K, I] &= KI - IK = 2J. \end{aligned}$$

En introduisant les matrices de Pauli suivantes

$$\sigma_1 = \begin{pmatrix} 0 & 1 \\ 1 & 0 \end{pmatrix}, \quad \sigma_2 = \begin{pmatrix} 0 & -i \\ i & 0 \end{pmatrix}, \quad \sigma_3 = \begin{pmatrix} 1 & 0 \\ 0 & -1 \end{pmatrix},$$

les éléments de base sont alors de la forme suivante

$$I = -i\sigma_2, \quad J = i\sigma_1, \quad K = i\sigma_3.$$

2.5.3 Algèbres de Lie $so(n)$ et $sp(n)$

Soit J une matrice quelconque. On peut définir une série de symétries de Lie à travers la relation suivante

$$g_J = \left\{ X \in sl(2n, C), \quad JX + X^t J = 0 \right\}.$$

Proposition: g_J est une sous algèbre de Lie de $sl(2n, C)$.

Prenons un choix particulier de J tel que

$$J = \begin{pmatrix} 0 & I_{n \times n} \\ I_{n \times n} & 0 \end{pmatrix}_{2n \times 2n}$$

Dans ce cas, l'algèbre de Lie g_J devient $so(2n)$. Elle est définie par:

$$so(2n) = \left\{ X \in sl(2n), \quad \begin{pmatrix} 0 & I_{n \times n} \\ I_{n \times n} & 0 \end{pmatrix} X + X^t \begin{pmatrix} 0 & I_{n \times n} \\ I_{n \times n} & 0 \end{pmatrix} = 0_{2n \times 2n} \right\}.$$

Intéressons-nous plus particulièrement au cas où $n = 1$. Dans ce cas, la matrice J est donnée par

$$J = \begin{pmatrix} 0 & 1 \\ 1 & 0 \end{pmatrix}.$$

Soit un élément X de $sl(2, C)$ s'écrivant sous la forme suivante

$$X = \begin{pmatrix} x & y \\ z & -x \end{pmatrix}.$$

Considérons la base canonique formée par les matrices suivantes

$$E_{11} = \begin{pmatrix} 1 & 0 \\ 0 & 0 \end{pmatrix}, \quad E_{12} = \begin{pmatrix} 0 & 1 \\ 0 & 0 \end{pmatrix}, \quad E_{21} = \begin{pmatrix} 0 & 0 \\ 1 & 0 \end{pmatrix}, \quad E_{22} = \begin{pmatrix} 0 & 0 \\ 0 & 1 \end{pmatrix}.$$

En terme de E_{ij} , un élément X dans $sl(2, C)$ s'exprime comme

$$X = x (E_{11} - E_{22}) + yE_{12} + zE_{21}.$$

Cherchons la solution de la contrainte $JX + X^T J = 0_{2 \times 2}$. En effet, nous calculons l'expression

$$\begin{aligned} JX + X^T J &= \begin{pmatrix} 0 & 1 \\ 1 & 0 \end{pmatrix} \begin{pmatrix} x & y \\ z & -x \end{pmatrix} + \begin{pmatrix} x & z \\ y & -x \end{pmatrix} \begin{pmatrix} 0 & 1 \\ 1 & 0 \end{pmatrix} \\ &= \begin{pmatrix} z & -x \\ x & y \end{pmatrix} + \begin{pmatrix} z & x \\ -x & y \end{pmatrix}. \end{aligned}$$

La condition $JX + X^T J = 0_{2 \times 2}$ exige que

$$y = 0, \quad z = 0, \quad \text{et } x \text{ est quelconque.}$$

Si X est une matrice de $so(2)$, alors elle peut s'écrire comme suit

$$X = x(E_{11} - E_{22}) = x \begin{pmatrix} 1 & 0 \\ 0 & -1 \end{pmatrix} \quad \text{avec } x \in \mathbb{R}.$$

Remarques:

- Elle est une sous algèbre de Lie de $sl(2, R)$.
- Sa dimension est $\dim so(2) = 1$. Par conséquent, elle est abélienne.
- Pour le cas générale $n > 1$, l'algèbre de Lie $so(2n)$ est définie par:

$$so(2n) = \left\{ \begin{pmatrix} X_{n \times n} & Y_{n \times n} \\ Z_{n \times n} & -X_{n \times n} \end{pmatrix}, \quad \text{avec } Y_{n \times n} + Y_{n \times n}^T = 0, \quad Z_{n \times n} + Z_{n \times n}^T = 0 \right\}.$$

- Nous avons deux propriétés pour $so(2n)$:
 - $so(2n)$ est une sous algèbre de Lie de $sl(2n, R)$
 - La dimension de $so(2n)$ est $\frac{2n(2n-1)}{2} = n(2n-1)$.

Exercices:

1. Donner les relations de commutation de $so(4)$
2. Montrer que $so(4)$ peut être vue comme deux copies de $so(3)$.

Prenons maintenant J comme suit

$$J = \begin{pmatrix} 1 & 0 & 0 \\ 0 & 0_{n \times n} & I_{n \times n} \\ 0 & I_{n \times n} & 0_{n \times n} \end{pmatrix}_{2n+1 \times 2n+1}$$

Dans ce cas, on peut définir $so(2n+1)$ comme suit

$$so(2n+1) = \left\{ X \in sl(2n+1, R), \quad JX + X^T J = 0_{2n+1 \times 2n+1} \right\}.$$

On considère l'algèbre de Lie $so(3)$. Rappelons la forme générale d'un élément de $gl(3, R)$ est comme suit

$$X = \begin{pmatrix} a & b & c \\ d & x & y \\ e & z & t \end{pmatrix}$$

et prenons la matrice J comme

$$J = \begin{pmatrix} 1 & 0 & 0 \\ 0 & 0 & 1 \\ 0 & 1 & 0 \end{pmatrix}.$$

Comme auparavant, il faut résoudre l'équation $JX + X^T J = 0_{3 \times 3}$. En effet, nous calculons l'expression

$$\begin{aligned} JX + X^T J &= \begin{pmatrix} 1 & 0 & 0 \\ 0 & 0 & 1 \\ 0 & 1 & 0 \end{pmatrix} \begin{pmatrix} a & b & c \\ d & x & y \\ e & z & t \end{pmatrix} + \begin{pmatrix} a & d & e \\ b & x & z \\ c & y & t \end{pmatrix} \begin{pmatrix} 1 & 0 & 0 \\ 0 & 0 & 1 \\ 0 & 1 & 0 \end{pmatrix} \\ &= \begin{pmatrix} a & b & c \\ e & z & t \\ d & x & y \end{pmatrix} + \begin{pmatrix} a & e & d \\ b & z & x \\ c & t & y \end{pmatrix} \\ &= \begin{pmatrix} 0 & 0 & 0 \\ 0 & 0 & 0 \\ 0 & 0 & 0 \end{pmatrix}. \end{aligned}$$

Cela nous permet de trouver

$$\begin{aligned} a = 0, \quad b + e = 0, \quad c + d = 0 \\ x + t = 0, \quad y = 0, \quad z = 0. \end{aligned}$$

De la même façon que pour $so(2)$, on obtient la solution générale suivante

$$X = \begin{pmatrix} 0 & b & c \\ -c & x & 0 \\ -b & 0 & -x \end{pmatrix}.$$

Dans la base canonique $\{E_{ij}\}$, X s'écrit comme

$$\begin{aligned} X &= x(E_{22} - E_{33}) + b(E_{12} - E_{31}) + c(E_{13} - E_{21}) \\ &= xt_1 + bt_2 + ct_3. \end{aligned}$$

Pour écrire les relations de commutations, on peut utiliser les commutateurs $[E_{ij}, E_{kl}]$. En effet, dans une base formée par les vecteurs $\{|i\rangle, i = 1, 2, 3\}$, la matrice E_{ij} est représentée par

$$E_{ij} = |i\rangle\langle j|.$$

Puisque le produit $E_{ij}E_{kl} = |i\rangle\langle j|k\rangle\langle\ell| = \delta_{jk}E_{i\ell}$, on obtient les relations de commutation suivantes

$$[E_{ij}, E_{kl}] = \delta_{jk}E_{i\ell} - \delta_{i\ell}E_{kj} \text{ avec } i, j, k, \ell = 1, 2, 3.$$

Exercices:

1. Donner les relations de commutation de l'algèbre de Lie $so(3)$.
2. Vérifier que l'algèbre $so(3)$ est isomorphe à $su(2)$.

Finalement, présentons une dernière algèbre qui est l'algèbre des matrices symplectiques. Pour cela, considérons une autre forme de J comme suit

$$J = \begin{pmatrix} 0_{n \times n} & I_{n \times n} \\ -I_{n \times n} & 0_{n \times n} \end{pmatrix}_{2n \times 2n}.$$

L'algèbre $sp(n, C)$ est définie par

$$g_J = \left\{ \begin{pmatrix} X_{n \times n} & Y_{n \times n} \\ Z_{n \times n} & -X_{n \times n}^T \end{pmatrix}, \quad Y = Y^T, \quad Z = Z^T \right\}.$$

Notons que $sp(n)$ est une sous algèbre de $sl(2n, C)$.

Si on considère l'algèbre $sp(1, C)$, on a

$$sp(1) = \left\{ \begin{pmatrix} x & y \\ z & -x \end{pmatrix} \right\}.$$

Remarques:

1. Les générateurs de $sp(1)$ sont $E_{11} - E_{22}$, E_{21} et E_{12} .

2. Sa dimension est $\dim sp(1) = 3^1$.
3. Pour $sp(n)$, la dimension est $n(2n + 1)$.

2.5.4 Classification des algèbres de Lie

Finalement, nous donnons une classification pour les algèbres de Lie: classification *ABCDEFGH*.

Elles sont classées comme suit:

1. Algèbre de Lie A_n : isomorphe à $sl(n + 1, C)$, ($n \geq 1$)
2. Algèbre de Lie B_n : isomorphe à $so(2n + 1)$, ($n \geq 2$)
3. Algèbre de Lie C_n : isomorphe à $sp(2n)$, ($n \geq 3$)
4. Algèbre de Lie D_n : isomorphe à $so(2n)$, ($n \geq 4$)
5. Algèbres de Lie exceptionnelles: E_6, E_7, E_8, F_4 et G_2 .

¹ $sp(1)$ est isomorphe à $su(2)$

Chapter 3

Algèbre de Lie $sl(2, C)$ et ses représentations

Dans ce chapitre, nous allons étudier l'algèbre de Lie $sl(2, C)$. En particulier, nous rapploons la définition de $sl(2, C)$. En suite, nous donnons quelques représentations.

3.1 Algèbre de Lie $sl(2, C)$

L'algèbre $sl(2, C) \simeq A_1$ est une algèbre de Lie de dimension trois définie par les relations de commutation suivantes

$$\begin{aligned}[h, e] &= 2e \\ [h, f] &= -2f \\ [e, f] &= h.\end{aligned}$$

Remarques:

1. Les générateurs $\{e, f, h\}$ forment une base dite la base de Cartan.
2. Dans cette base, h est dit un opérateur qui compte les charges portées par e et f .
3. Déterminer une représentation de $sl(2, C)$ revient à résoudre sa structure abstraite.

En fait, $sl(2, C)$ possède une infinité de représentations. Nous citons

- Représentations matricielles
- Réalisations différentielles.

3.2 Représentations de l'algèbre de Lie $sl(2, C)$

3.2.1 Réalisations différentielles

Dans cette réalisation, les générateurs h, f et e sont représentés par des opérateurs différentielles agissant sur un espace vectoriel dit espace de représentation. En effet, on considère l'espace vectoriel $V = C[X, Y]$ des polynômes en deux variables X, Y . Pour $\lambda \geq 0$, on peut définir un espace vectoriel des polynômes homogènes de degré λ (V_λ) :

$$P_\lambda(X, Y) = \{X^\lambda, X^{\lambda-1}Y, \dots, Y^\lambda\} = \sum_{p+q=\lambda} a_{p,q} X^p Y^q. \quad (3.2.1)$$

Soit Φ un homomorphisme de l'algèbre $sl(2, C)$

$$\Phi : sl(2, C) \rightarrow gl(V_\lambda). \quad (3.2.2)$$

A travers Φ , on trouve une réalisation de $sl(2, C)$ qui est donnée par la solution suivante

$$\begin{aligned} e &\rightarrow X \frac{\partial}{\partial Y} = \Phi(e) \\ f &\rightarrow Y \frac{\partial}{\partial X} = \Phi(f) \\ h &\rightarrow X \frac{\partial}{\partial Y} - Y \frac{\partial}{\partial X} = \Phi(h). \end{aligned}$$

En effet, si nous calculons le commutateur $[\Phi(e), \Phi(f)]$, alors on trouve que $[\Phi(e), \Phi(f)] = \Phi(e)\Phi(f) - \Phi(f)\Phi(e) = X \frac{\partial}{\partial X} - Y \frac{\partial}{\partial Y} = \Phi(h)$.

Remarque:

On peut donner aussi une autre réalisation sur le plan des nombres complexes C paramétrisé par $\{z, \bar{z}\}$. Cette solution est donnée par les opérateurs

$$e = z \frac{\partial}{\partial \bar{z}}$$

$$\begin{aligned} f &= \bar{z} \frac{\partial}{\partial z} \\ h &= z \frac{\partial}{\partial \bar{z}} - \bar{z} \frac{\partial}{\partial z}. \end{aligned}$$

3.2.2 Représentations matricielles

Dans ce qui suit, on s'intéresse particulièrement aux représentations matricielles de $sl(2, C)$. La représentation par des matrices 2×2 agissant sur un espace vectoriel de dimension 2 est appelée représentation fondamentale. Cette dernière est donnée par les matrices suivantes

$$e = \begin{pmatrix} 0 & 1 \\ 0 & 0 \end{pmatrix}, \quad f = \begin{pmatrix} 0 & 0 \\ 1 & 0 \end{pmatrix}, \quad h = \begin{pmatrix} 1 & 0 \\ 0 & -1 \end{pmatrix}. \quad (3.2.3)$$

Notons qu'on peut donner une représentation en introduisant les matrices de Pauli

$$\sigma_1 = \begin{pmatrix} 0 & 1 \\ 1 & 0 \end{pmatrix}, \quad \sigma_2 = \begin{pmatrix} 0 & -i \\ i & 0 \end{pmatrix}, \quad \sigma_3 = \begin{pmatrix} 1 & 0 \\ 0 & -1 \end{pmatrix} \quad (3.2.4)$$

qui vérifient les relations suivantes

$$[\sigma^i, \sigma^j] = i \sum_k \varepsilon^{ijk} \sigma^k, \quad i, j, k = 1, 2, 3 \quad (3.2.5)$$

avec ε^{ijk} est le tenseur complètement antisymétrique, et normalisé de sorte que $\varepsilon^{123} = +1$.

Le passage est assuré par les relations suivantes

$$\begin{aligned} h &= \sigma_3, \\ e &= \frac{1}{2}(\sigma_1 + i\sigma_2) \\ f &= \frac{1}{2}(\sigma_1 - i\sigma_2). \end{aligned}$$

3.3 Les modules de $sl(2, C)$

Soit g une algèbre de Lie. V un espace vectoriel muni d'une opération $(.)$ tel que:

$$\begin{aligned} g.V &\rightarrow V \\ (x.v) &\rightarrow x.v \end{aligned}$$

est dit g -module si nous avons les conditions

$$\begin{aligned}(ax + by) \cdot v &= ax \cdot v + by \cdot v \\ [x, y] \cdot v &= xy \cdot v - yx \cdot v \\ x \cdot (av + bw) &= ax \cdot v + bx \cdot w,\end{aligned}$$

où a et b sont des complexes.

Remarques:

- On a une compatibilité entre g et V
- Le vecteur $x \cdot v$ est défini à travers un homomorphisme

$$x \cdot v = \Phi(x) \cdot v$$

- Le module adjoint est défini par $V = g$. Dans ce cas, on peut avoir

$$g \cdot g \rightarrow g \tag{3.3.1}$$

$$(x, y) \rightarrow x \cdot y = xy - yx = [x, y]. \tag{3.3.2}$$

3.3.1 Définitions

Un homomorphisme Φ assure que les générateurs de l'algèbre $sl(2, C)$ sont des matrices $n \times n$ agissant $sl(2, C)$ sur un espace vectoriel V de dimension n . Pour chaque élément x de l'algèbre et un vecteur v de V , l'action de x sur v est donnée par

$$x \cdot v \rightarrow \Phi(x) \cdot v,$$

où $\Phi(x)$ est une matrice carrée $n \times n$.

Définition 1: Les modules de $sl(2, C)$ peuvent être décomposés en somme directe des sous espaces propres de dimension 1:

$$V = \oplus_i V_i. \tag{3.3.3}$$

Définition 2: Un sous espace vectoriel V_{λ_i} est défini par $V_{\lambda_i} = \{v_i \in V / \Phi_v(h)v_i = \lambda_i v_i\}$ où λ_i sont les poids de h et V_{λ_i} . On peut trouver les λ_i en utilisant l'action de h sur les espaces des poids.

Lemme: Si $v \in V_{\lambda}$ alors on a

- $e.v \in V_{\lambda+2}$
- $f.v \in V_{\lambda-2}$.

Autrement, nous avons aussi

$$\begin{aligned} e & : V_{\lambda} \rightarrow V_{\lambda+2}. \\ f & : V_{\lambda} \rightarrow V_{\lambda-2}. \end{aligned}$$

3.3.2 Poid maximal et vecteur maximal

Dans la section suivante, nous nous intéressons particulièrement aux représentations engendrées par un vecteur ayant un poid maximal. En particulier, si V est un g -module de $sl(2, C)$ de dimension finie, et $V = \bigoplus_i V_{\lambda_i}$ sa décomposition en sous espaces de poids, alors il existe un poid maximal λ_{\max} tel que

$$V_{\lambda_{\max}} \neq \{0\} \quad V_{\lambda_{\max}+2} = \{0\}. \quad (3.3.4)$$

Un vecteur v_0 est dit maximal si et seulement si

$$\begin{aligned} hv_0 & = \lambda_{\max}v_0 \\ e.v_0 & = 0. \end{aligned}$$

3.4 Modules irréductibles de $sl(2, C)$

Dans cette section, nous donnons une classification des modules irréductibles de $sl(2, C)$. En effect, on peut construire des sous modules à partir d'un vecteur maximal. Soit v_0 un vecteur maximal et λ_0 un poid maximal tel que

$$\begin{aligned} hv_0 & = \lambda_0v_0 \\ e.v_0 & = 0. \end{aligned}$$

Posons

$$\begin{aligned} v_n & = \frac{1}{n!}f^n v_0 \\ v_{-1} & = 0, \end{aligned}$$

on obtient le lemme suivant

$$\begin{aligned} h.v_n &= (\lambda_0 - 2n)v_n \\ f.v_n &= (n + 1)v_{n+1} \\ e.v_n &= (\lambda_0 - n + 1)v_{n+1}. \end{aligned}$$

Démonstration: Exercice. Pour chaque A_1 -module irréductible de dimension finie, nous avons les propriétés suivantes:

- Le paramètre λ_0 (poids maximal) est un entier naturel. Autrement dit les modules de $sl(2, C)$ sont classés par un entier m . En effet, nous avons les situations suivantes
 - $m = 0$: module scalaire
 - $m = 1$: module fondamentale
 - $m = 2$: module adjoint.
- Une base de V_m est donnée par les vecteurs

$$\{v_n, \quad n = 0, \dots, m\}. \quad (3.4.1)$$

- La dimension de V_m est $m + 1$.

Considérons un g -module de $sl(2, C)$ de dimension $n + 1$

$$V = Cv_0 \oplus Cv_1 \oplus \dots \oplus Cv_n \quad (3.4.2)$$

tels que $v_{-1} = 0$ et $v_{n+1} = 0$. Soit un vecteur v_n défini par

$$v_n = C | 0 \rangle + C | 1 \rangle + \dots + C | n \rangle. \quad (3.4.3)$$

L'action de $sl(2, C)$ sur la base $\{|i\rangle, i = 1, \dots, n\}$ est définie comme suit

$$\begin{aligned} h | i \rangle &= (n - 2i) | i \rangle \\ f | i \rangle &= (i + 1) | i \rangle \\ e | i \rangle &= (n - i + 1) | i \rangle. \end{aligned}$$

Exemples

Nous donnons quelques exemples. Nous commençons avec la représentation triviale qui correspond à $m = 0$. Dans ce cas, la dimension de V est 1. Il est facile de voir que l'action de $sl(2, C)$ sur V est

$$h | 0 \rangle = 0 | 0 \rangle$$

$$f | 0 \rangle = 0 | 0 \rangle$$

$$e | 0 \rangle = 0 | 0 \rangle$$

ceci conduit aisément à la solution suivante

$$h = 0$$

$$f = 0$$

$$e = 0.$$

Pour $m = 1$, la dimension de V est 2:

$$V = C | 0 \rangle \oplus C | 1 \rangle.$$

Pour donner la réalisation matricielle, Il faut calculer l'action des générateurs e, f et h sur V . En effet, l'action de e sur V est donnée par

$$e | 0 \rangle = 0 | 0 \rangle + 0 | 1 \rangle$$

$$e | 1 \rangle = 1 | 0 \rangle + 0 | 1 \rangle.$$

Donc, le générateur e est représenté par la matrice suivante

$$e = \begin{pmatrix} 0 & 0 \\ 1 & 0 \end{pmatrix}.$$

Si nous calculons l'action de f , nous obtenons

$$f | 0 \rangle = 0 | 0 \rangle + 1 | 1 \rangle$$

$$f | 1 \rangle = 0 | 0 \rangle + 0 | 1 \rangle$$

et par conséquent on trouve

$$f = \begin{pmatrix} 0 & 1 \\ 0 & 0 \end{pmatrix}.$$

L'action de h est comme suit

$$\begin{aligned} h | 0 \rangle &= 1 | 0 \rangle + 0 | 1 \rangle \\ h | 1 \rangle &= 0 | 0 \rangle - 1 | 1 \rangle, \end{aligned}$$

ceci nous donne

$$h = \begin{pmatrix} 1 & 0 \\ 0 & -1 \end{pmatrix}.$$

Exercice: Étudier le cas $m = 2$.

Chapter 4

Sous algèbres de Cartan et systèmes des racines

4.1 Sous algèbre de Cartan

4.1.1 Sous algèbre Torique

On considère une algèbre de Lie g de dimension finie. On peut diviser les générateurs de g en trois ensembles

- Opérateurs diagonaux h_i
- Opérateurs de création
- Opérateurs d'annihilation.

Soit T un sous espace vectoriel de g engendré par les opérateurs diagonaux.

Définition 1: T est dite une algèbre torique de g .

Définition 2: Sous algèbre de Cartan H est la sous algèbre torique maximale de g .

Remarques:

- H est une sous algèbre de Lie de g abélienne maximale

$$[h_i, h_j] = 0.$$

- La dimension de H ($\dim H$) est dite aussi le rang de g

$$\dim H = \text{rang } g. \quad (4.1.1)$$

Exemple 1: $sl(2, C)$

Prenons l'algèbre de Lie $sl(2, C)$. Son algèbre torique est donnée par

$$T = \left\{ x_s = a \begin{pmatrix} 1 & 0 \\ 0 & -1 \end{pmatrix}, \quad a \in C \right\}. \quad (4.1.2)$$

T est engendrée par

$$h = \begin{pmatrix} 1 & 0 \\ 0 & -1 \end{pmatrix}. \quad (4.1.3)$$

Sa dimension est 1.

Exemple 2: $sl(3, C)$

Rappelons que la dimension $sl(3, C)$ est $3^2 - 1 = 8$. Sa sous algèbre de Cartan H est donnée par la forme suivante

$$H = Ch_1 \oplus Ch_2,$$

qui est aussi la sous algèbre torique maximale de $sl(3, C)$. La dimension de H est 2

$$\forall h \in H, \quad h = \sum_{i=1}^2 \alpha_i h_i, \quad \alpha_i \in C$$

où $h_1 = E_{11} - E_{22}$ et $h_2 = E_{22} - E_{33}$.

Exemple 3: $sl(n+1, C)$

Dans ce cas, nous avons n générateurs diagonaux de type h_i . En termes des matrices E_{ij} , ils s'écrivent comme suit

$$h_i = E_{ii} - E_{i+1, i+1}, \quad i = 1, \dots, n.$$

Dans ce cas, la dimension de H est n :

$$H = Ch_1 \oplus Ch_2 \oplus \dots \oplus Ch_n.$$

Exemple 4: Pour $sl(n, C)$, on a

$$\begin{aligned}\dim sl(n, C) &= n^2 - 1 \\ \text{rang } sl(n, C) &= n - 1\end{aligned}$$

Exemple 5: Pour $so(2n, R)$, on obtient

$$\begin{aligned}\dim so(2n) &= \frac{2n(2n-1)}{2} = n(2n-1) \\ \text{rang } so(2n) &= n.\end{aligned}$$

4.2 Décomposition de Cartan

Soit g une algèbre de Lie, on peut écrire les relations suivantes

$$\begin{aligned}\forall x \in g, \quad x &= \sum \alpha_a x^a \\ \forall h \in H, \quad h &= \sum \alpha_i h_i \\ ad_{h_i}(x_a) &= [h_i, x_a] = \alpha_a(h_i)x_a,\end{aligned}$$

où $\alpha_a(h_i)$ sont les valeurs propres de ad_{h_i} .

Exemple: $sl(2, C)$.

Dans le cas de $sl(2, C)$, ad_h est une matrice 3×3 . En effet, dans la base de Cartan on a

$$\begin{aligned}ad_h(e) &= [h, e] = 2e \\ ad_h(f) &= [h, f] = -2f \\ ad_h(h) &= [h, h] = 0,\end{aligned}$$

et on obtient la matrice ad_h

$$ad_h = \begin{pmatrix} 2 & 0 & 0 \\ 0 & -2 & 0 \\ 0 & 0 & 0 \end{pmatrix}.$$

Proposition: La sous algèbre de Cartan H permet de décomposer l'algèbre de Lie en somme directe des espaces propres.

Lemme: g est décomposable en somme directe des sous espace g_α :

$$g = \bigoplus_{\alpha} g_{\alpha}$$

où

$$g_{\alpha} = \{x \in g, [h, x] = \alpha(h)x, \forall h \in H\}.$$

Définition: La décomposition $g = \bigoplus_{\alpha} g_{\alpha}$ est dite la décomposition de Cartan où $\alpha \geq 0$. Autrement, nous écrivons

$$\begin{aligned} g &= g_0 \oplus \{\bigoplus_{\alpha \neq 0} g_{\alpha}\} \\ g &= H \oplus \{\bigoplus_{\alpha \neq 0} g_{\alpha}\}. \end{aligned}$$

Exemple: $sl(2, C)$.

Rappelons que $sl(2, C)$ est engendrée par e, f et h et on a aussi

$$\begin{aligned} \dim A_1 &= 3 \\ \text{rang } A_1 &= 1. \end{aligned}$$

La décomposition de Cartan de $sl(2, C)$ est donnée par

$$\begin{aligned} sl(2, C) &= Ch \oplus Ce \oplus Cf \\ &= g_0 \oplus g_{+2} \oplus g_{-2}, \end{aligned}$$

où $g_0 = Ch$, $g_{-2} = Cf$ et $g_{+2} = Ce$.

Remarque: Dans la décomposition de Cartan, α est dite une forme définie par $\alpha : H \rightarrow C$: c'est une application de sous algèbre de Cartan vers les valeurs complexes: $h \rightarrow \alpha(h)$.

4.3 Forme de Killing

La forme de Killing d'une algèbre de Lie g est définie par

$$\begin{aligned} K : g \times g &\rightarrow C \\ (x, y) &\rightarrow K(x, y) = Tr ad_x ad_y. \end{aligned}$$

La forme $K(x, y)$ est:

- bilinéaire: $K(\alpha x + \beta y, z) = \alpha K(x, z) + \beta K(y, z)$, $\alpha, \beta \in C$
- symétrique: $K(x, y) = K(y, x)$.
- associative dans le sens: $K([x, y], z) = K(x, [y, z])$.

Définition: Soit g une algèbre de Lie. g est dite semi simple si la forme de Killing $K(x, y)$ est non dégénérée ($\det K \neq 0$) où K est la matrice associée à la forme de Killing.

Exemple: $g = sl(2, C)$.

Rappelons que les relations de commutation de $g = sl(2, C)$ sont

$$\begin{aligned} [h, e] &= 2e \\ [h, f] &= -2f \\ [e, f] &= h. \end{aligned}$$

Dans ce cas, la matrice K associée à la forme de Killing est donnée par

$$K = \begin{pmatrix} K(e, e) & K(e, f) & K(e, h) \\ K(f, e) & K(f, f) & K(f, h) \\ K(h, e) & K(h, f) & K(h, h) \end{pmatrix}.$$

En effet, on a $ad_h(e) = 2e + 0f + 0h$, $ad_h(f) = 0e - 2f + 0h$ et $ad_h(h) = 0e + 0f + 0h$.

Par conséquent, on obtient les matrices $ad_{h,e,f}$

$$ad_h = \begin{pmatrix} 2 & 0 & 0 \\ 0 & -2 & 0 \\ 0 & 0 & 0 \end{pmatrix}, \quad ad_f = \begin{pmatrix} 0 & 0 & -1 \\ 0 & 0 & 0 \\ 2 & 0 & 0 \end{pmatrix}, \quad ad_e = \begin{pmatrix} 0 & 0 & 0 \\ 0 & 0 & 1 \\ -2 & 0 & 0 \end{pmatrix}.$$

Finalement, la matrice K associée à la forme de Killing est donnée par

$$K = \begin{pmatrix} 0 & 2 & 0 \\ 2 & -4 & 0 \\ 0 & 0 & 8 \end{pmatrix}.$$

4.4 Système de racines

Soit g une algèbre de Lie de dimension finie et H sa sous algèbre de Cartan.

Définition: L'ensemble des formes α non nulles ($g_\alpha \neq 0$)

$$\Delta = \{\alpha \in H^*/g_\alpha \neq 0\}$$

est appelé système des racines.

Considérons maintenant la décomposition de Cartan

$$g = H \oplus \{\oplus_{\alpha \in \Delta} g_\alpha\}.$$

Nous avons les propriétés suivantes

- $[g_\alpha, g_\beta] \subset g_{\alpha+\beta}$
- si $x \in g_\alpha$ ($\alpha \neq 0$), alors ad_x^2 est nul
- Si α et $\beta \in H^*$ et $\alpha + \beta \neq 0$, alors $g_\alpha \perp g_\beta$ relativement à la forme de Killing.

Démonstration:

Si $x \in g_\alpha$ et $y \in g_\beta$, alors $ad_h(x) = \alpha(h)x$ et $ad_h(y) = \beta(h)y$.

Calculons $ad_h([x, y])$. En effet, on a

$$\begin{aligned} ad_h([x, y]) &= [ad_h(x), y] + [x, ad_h(y)] \\ &= [\alpha(h)x, y] + [x, \beta(h)y] \\ &= \alpha(h)[x, y] + \beta(h)[x, y] \\ &= (\alpha + \beta)(h)[x, y] \end{aligned}$$

qui implique que $[x, y] \subset g_{\alpha+\beta}$.

Calculons $ad_x^2(h)$. En effet, on trouve que

$$\begin{aligned} ad_x^2(h) &= ad_x(ad_x(h)) \\ &= ad_x(\alpha(h)x) \end{aligned}$$

$$\begin{aligned}
&= \alpha(h)ad_x(x) \\
&= \alpha(h)[x, x] \\
&= 0.
\end{aligned}$$

Démonstration de la dernière propriété:

Considérons un élément x de g_α alors $ad_h(x) = \alpha(h)x$ et si $y \in g_\beta$ alors $ad_h(y) = \beta(h)y$.

Il faut démontrer que $K(x, y) = 0$ si $\alpha + \beta \neq 0$. Pour cela, on va utiliser la propriété suivante

$$K(h, [x, y]) = K([x, y], h).$$

En effet, nous calculons

$$\begin{aligned}
\alpha(h)K(x, y) &= K(\alpha(h)x, y) \\
&= K([h, x], y) \\
&= K(x, [y, h]) \\
&= -\beta(h)K(x, y)
\end{aligned}$$

ceci nous donne $(\alpha(h) + \beta(h))K(x, y) = 0$. Si $\alpha + \beta \neq 0$ alors $K(x, y) = 0$ et par conséquent g_α et g_β sont perpendiculaires relativement à la forme de Killing.

Propriétés de Δ .

Nous présentons quelques propriétés de Δ :

1. Orthogonalité
2. Intégrabilité
3. Rationalité

Orthogonalité: Nous donnons les propriétés suivantes

- Δ engendre H^* .
- Si $\alpha \in \Delta$, $-\alpha \in \Delta$.

- Soit $\alpha \in \Delta$. Si $x \in g_\alpha$ et $y \in g_{-\alpha}$ alors

$$[x, y] = K(x, y)t_\alpha, \quad t_\alpha \in H$$

et on a $K(t_\alpha, h) = \alpha(h)$

- Si $\alpha \in \Delta$ alors $[g_\alpha, g_{-\alpha}]$ est un sous espace vectoriel de dimension 1 engendré par t_α tel que

$$[g_\alpha, g_{-\alpha}] \simeq Ct_\alpha.$$

- Si $\alpha \in \Delta$, $x_\alpha \in g_\alpha$, il existe un élément $y_\alpha \in g_{-\alpha}$ tel que $\{x_\alpha, y_\alpha, h_\alpha\} \simeq sl(2, C)$ et $h_\alpha = \frac{2t_\alpha}{\alpha(t_\alpha)} = \frac{2t_\alpha}{K(t_\alpha, t_\alpha)}$.

Exemple $sl(3, C)$:

Revenons à $sl(3, C)$. On sait que sa dimension de $sl(3, C)$ est 8 et son *rang* est 2. Sa sous algèbre de Cartan H est donnée par

$$Ch_1 \oplus Ch_2.$$

On obtient $|\Delta| = \dim sl(3, C) - \text{rang } sl(3, C) = 8 - 2 = 6$. Le système des racines positives est $\Delta_+ = \{\alpha_1, \alpha_2, \alpha_1 + \alpha_2\}$. Puisque que l'opposé d'une racine est aussi une racine, les racines négatives sont $\Delta_- = \{-\alpha_1, -\alpha_2, -(\alpha_1 + \alpha_2)\}$. La décomposition de Cartan de $sl(3, C)$ est donnée

$$sl(3, C) = H \oplus g_{\pm\alpha_1} \oplus g_{\pm\alpha_2} \oplus g_{\pm(\alpha_1 + \alpha_2)}.$$

Rationalité:

Soit g une algèbre de Lie, H sa sous algèbre de Cartan et H^* est le dual de H . Rappelons que la décomposition de Cartan est

$$g = H \oplus \{\oplus_{\alpha \in \Delta} g_\alpha\}, \quad g_\alpha = \{x \in g / [h, x] = \alpha(h)x\}.$$

Lemme:

On considère une base de H^* formée par des racines de $\Delta = \{(\alpha_1, \dots, \alpha_\ell)\}$. Alors, on a les deux propriétés suivantes

1. $\beta = \sum_{j=1}^{\ell} C_j \alpha_j, \quad \forall \beta \in \Delta$
2. $C_j \in \mathbb{Q}$.

Intégrabilité: Nous avons les propriétés suivantes

1. Si $\alpha \in \Delta$, alors $\dim g_\alpha = 1$
2. Si $\alpha \in \Delta$, $k\alpha \in \Delta$ si $k = \pm 1$
3. Si $\alpha \in \Delta$, $\beta \in \Delta$ et $\alpha + \beta \in \Delta$, alors $[g_\alpha, g_\beta] = g_\beta$
4. Si $\alpha \in \Delta$ et $\beta \in \Delta$, alors $K(t_\alpha, t_\beta) = \beta(h_\alpha) \in \mathbb{Z}$.
5. g est engendrée par g_α .

Exemple: $sl(2, \mathbb{C})$. Dans ce cas, on a

$$\begin{aligned} sl(2, \mathbb{C}) &= \mathbb{C}h \oplus \mathbb{C}e \oplus \mathbb{C}f \\ &= \mathbb{C}h \oplus \mathbb{C}g_\alpha \oplus \mathbb{C}g_{-\alpha} \end{aligned}$$

où

$$g_\alpha = \mathbb{C}e, \quad g_{-\alpha} = \mathbb{C}f.$$

. **Remarque:** Notons que $\dim g_\alpha = \dim g_{-\alpha} = 1$.

Chapter 5

Système des racines

En théorie des algèbres de Lie, un système des racines est une configuration de vecteurs dans un espace Euclidien vérifiant certaines conditions géométriques. Dans ce chapitre, nous discutons les points suivants:

1. Espaces Euclidiens.
2. Réflexions.
3. Systèmes des Racines.

5.1 Espace Euclidien

Définition 1

Soit E un espace vectoriel de dimension finie sur le corps des nombres réels R . Une application (\cdot) définie positive

$$\begin{aligned}(\cdot) : E \times E &\rightarrow R \\ \alpha, \beta &\rightarrow (\alpha, \beta) = \alpha \cdot \beta\end{aligned}$$

est dite produit scalaire s'elle est

- bilinéaire

$$(a\alpha + b\gamma, \beta) = a(\alpha, \beta) + b(\gamma, \beta)$$

- symétrique

$$(\alpha, \beta) = (\beta, \alpha)$$

- défini positive

$$(\alpha, \alpha) > 0 \quad \text{et} \quad (\alpha, \alpha) = 0 \quad \text{si} \quad \alpha = 0$$

pour tout $\alpha, \beta \in E$ et $a, b \in R$.

Remarques:

1. La notion du produit scalaire est valable en dehors du cadre de la dimension finie. Elle se généralise également aux espaces complexes.
2. Le produit scalaire permet de définir une norme et une distance.

Définition 2 Un espace euclidien est un espace vectoriel réel de dimension finie muni d'un produit scalaire.

Exemple: Si $E = R^n$, il s'agit de la structure Euclidienne naturelle sur R^n . Dans ce cas, le produit scalaire est dit canonique

$$(\alpha, \beta) = \alpha \cdot \beta = \alpha_1 \beta_1 + \alpha_2 \beta_2 + \dots + \alpha_n \beta_n.$$

Dans ce qui suit, E est un espace euclidien de dimension ℓ ($\dim \ell$ ($\ell < \infty$)).

5.1.1 Réflexions

On définit une réflexion σ dans E comme une application linéaire $E \rightarrow E$ donnée par

$$\begin{aligned} \sigma_v : E &\rightarrow E \\ w &\rightarrow \sigma_v(w) = w - \frac{2(w \cdot v)v}{(v \cdot v)}, \quad \forall v \in E \end{aligned}$$

où $w \cdot v$ désigne le produit scalaire dans E .

Cette réflexion possède certaines propriétés:

1. $\sigma_v^2(w) = w$

2. Si $w \perp v$, alors $\sigma_v(w) = w$ et par conséquent w est invariant par σ_v .

3. On a l'expression suivante

$$\sigma_v(v) = v - \frac{2(v.v)v}{(v.v)} = -v, \quad \sigma_v(\lambda v) = -\lambda v \quad \lambda \in R.$$

4. La réflexion conserve le produit scalaire c'est à dire

$$(\sigma_v(\alpha).\sigma_v(\beta)) = (\alpha.\beta).$$

Démonstration

Ici, nous démontrons seulement la propriété 3. On commence par calculer le produit scalaire $\sigma_v(\alpha).\sigma_v(\beta)$. En effet, nous avons

$$\begin{aligned} \sigma_v(\alpha).\sigma_v(\beta) &= \left(\alpha - \frac{2(\alpha.v)v}{(v.v)}\right).\left(\beta - \frac{2(\beta.v)v}{(v.v)}\right) \\ &= (\alpha.\beta) - \frac{2(\alpha.v)(\beta.v)}{(v.v)} - \frac{2(\alpha.v)(v.\beta)}{(v.v)} + \frac{4(\alpha.v)(\beta.v)}{(v.v)^2}(v.v) \\ &= (\alpha.\beta). \end{aligned}$$

Pour les autres propriétés, on peut se référer au livre [1].

5.2 Systèmes des Racines

Soit Δ un sous ensemble de E . On appelle Δ un système des racines de E si nous avons les conditions suivantes

- Δ est fini, engendre E , $0 \notin \Delta$
- $\forall \alpha \in \Delta, k\alpha \in \Delta$ si $k = \pm 1$
- $\forall \alpha \in \Delta, \sigma_v$ stabilise Δ , autrement $\sigma_\alpha(\Delta) \subset \Delta$
- Si α et β dans Δ , le produit scalaire

$$\langle \beta.\alpha \rangle = \frac{2(\beta.\alpha)}{(\alpha.\alpha)} \in Z.$$

Remarque: Si $(\alpha, \alpha) = 2$, alors le produit scalaire $\langle \beta, \alpha \rangle$ devient produit scalaire usuel symétrique. En effet,

$$\langle \beta, \alpha \rangle = \alpha \cdot \beta = \beta \cdot \alpha.$$

Exemple:

Soit E un espace vectoriel de dimension 1 tel que

$$E = C\alpha, \quad \Delta = \{\alpha, -\alpha\}.$$

Rappelons que la dimension de E est:

$$\dim E = \text{rang } g = \dim H.$$

Le nombre des éléments de Δ est:

$$|\Delta| = 2$$

qui montre que Δ est fini. Il est facile de voir que

$$\sigma_\alpha(\alpha) = -\alpha \in \Delta, \quad \sigma_\alpha(-\alpha) = +\alpha \in \Delta$$

donc $\sigma_\alpha(\Delta) \subset \Delta$ et d'autre part, on a aussi

$$\sigma_{-\alpha}(\alpha) = -\alpha, \quad \sigma_{-\alpha}(-\alpha) = +\alpha$$

et par conséquent

$$\sigma_{-\alpha}(\Delta) \subset \Delta.$$

Pour tout $\alpha \in \Delta$, on a $\sigma_\alpha(\Delta) \subset \Delta$, et nous avons le résultat attendu.

La dernière propriété de Δ est assurée par

$$\begin{aligned} \langle \alpha, \alpha \rangle &= \frac{2\alpha \cdot \alpha}{\alpha \cdot \alpha} = 2 \in \mathbb{Z} \\ \langle -\alpha, \alpha \rangle &= -2 \in \mathbb{Z} \\ \langle \pm\alpha, \alpha \rangle &= \pm 2 \in \mathbb{Z}. \end{aligned}$$

5.3 Groupe de Weyl

Considérons un système des racines Δ . L'ensemble des réflexions dans E

$$W = \{\sigma_\alpha : \Delta \longrightarrow \Delta \quad \forall \alpha \in \Delta\}$$

a une structure de groupe et dit le groupe de Weyl associé à Δ .

Propriétés de W

- W est un sous groupe de $GL(E)$.
- W est fini (Δ est fini).
- W est un groupe de permutation qui permute les racines (éléments de Δ). On peut dire aussi que W est un groupe de réflexions associé à Δ .

Exemples

Prenons comme exemple l'algèbre $sl(2, C)$. Sa dimension est $\dim A_1 = 3$ et son rang est 1. Le nombre des éléments de Δ est

$$|\Delta| = \dim A_1 - \text{rang} A_1 = 2$$

En effet, nous avons

$$\Delta = \Delta_+ \cup \Delta_- = \{+\alpha, -\alpha\}$$

où $\Delta_+ = \{+\alpha\}$ et $\Delta_- = \{-\alpha\}$.

Puisque $|\Delta| = 2 < \infty$, alors Δ est fini. Dans ce cas, on peut écrire E comme

$$E \simeq C\alpha.$$

On a également

$$\alpha, -\alpha; \sigma_{\pm\alpha}(\Delta) \subset \Delta \quad \langle \alpha, \pm\alpha \rangle = \pm 2 \in Z$$

On peut voir facilement que

$$\sigma_\alpha^2(\alpha) = \sigma_\alpha \cdot \sigma_\alpha(\alpha) = \sigma_\alpha(-\alpha) = \alpha, \quad \sigma_{-\alpha}^2(\alpha) = \alpha.$$

W a deux éléments. Il est donc comme le groupe cyclique Z_2 où $Z_2 = \{e, g\}$ tel que¹

$$g \cdot g = e$$

Pour l'algèbre $sl(n+1, C)$, le groupe de réflexions est isomorphe à S_n (le groupe symétrique à n éléments).

5.4 Classification des racines

5.4.1 Positions relatives des racines

Soient α et β deux racines de (Δ) . Rappelons que le produit scalaire entre α et β est alors défini par

$$\langle \beta, \alpha \rangle = \frac{2\beta \cdot \alpha}{\alpha \cdot \alpha}.$$

Remarque: Dans le cas où $|\alpha| = |\beta|^2$, on trouve que

$$\langle \beta, \alpha \rangle = (\alpha, \beta)$$

Considérons maintenant l'angle θ entre α et β ($\theta = (\alpha, \hat{\beta})$) pour tout α et β de Δ . Effet, nous calculons l'expression

$$\begin{aligned} \langle \beta, \alpha \rangle &= \frac{2(\beta, \alpha)}{(\alpha, \alpha)} \\ &= \frac{2|\alpha||\beta|\cos\theta}{|\alpha|^2} \\ &= \frac{2|\beta|\cos\theta}{|\alpha|} \end{aligned}$$

et on obtient

$$\frac{\langle \beta, \alpha \rangle}{\langle \alpha, \beta \rangle} = \frac{|\alpha|^2}{|\beta|^2} \geq 0.$$

¹Voir chapitre 6

On constate alors que $\langle \alpha, \beta \rangle$ et $\langle \beta, \alpha \rangle$ ont le même signe. De même, on a

$$\langle \beta, \alpha \rangle \langle \alpha, \beta \rangle = 4 \cos^2 \theta$$

qui conduit à

$$0 \leq \langle \beta, \alpha \rangle \langle \alpha, \beta \rangle \leq 4.$$

On a aussi les quatres situations suivantes

$$\langle \beta, \alpha \rangle \langle \alpha, \beta \rangle = 0, 1, 2, 3, 4.$$

Il se trouve que les valeurs possibles de θ sont $30^\circ, 45^\circ, 60^\circ, 90^\circ, 120^\circ, 135^\circ, 150^\circ$.

5.4.2 Système de racines de rang 1

Il existe seulement un système de racines de rang 1 qui contient deux vecteurs (racines) α et $-\alpha$. Ce système de racine est appelé A_1 .

5.4.3 Système de racines de rang 2

Pour le rang 2, il y a quatre possibilités:

- $so(4) \simeq su(2) \oplus su(2)$:

Dans ce cas, on a

$$\alpha \perp \beta, \quad \langle \alpha, \beta \rangle = \langle \beta, \alpha \rangle = 0$$

et

$$\sigma_\alpha(\beta) = \beta, \quad \sigma_\beta(\alpha) = \alpha$$

Pour cela, on trouve que

$$\theta = \frac{\pi}{2}.$$

- $sl(3, C)$:

Dans ce cas, nous avons

$$\langle \alpha, \beta \rangle = \langle \beta, \alpha \rangle = -1$$

et donc

$$\theta = \frac{2\pi}{3}.$$

Pour cela, vérifions que $\alpha + \beta$ est aussi une racine. En effet, on obtient

$$\sigma_\alpha(\beta) = \beta - \langle \beta, \alpha \rangle \alpha = \beta + \alpha$$

alors le système de racines Δ est

$$\Delta = \{\pm\alpha, \pm\beta, \pm(\alpha + \beta)\}$$

• $so(5)$:

Pour cet algèbre, nous avons

$$\langle \beta, \alpha \rangle = -2 \quad \text{et} \quad \langle \alpha, \beta \rangle = -1$$

d'où

$$\Delta = \{\pm\alpha, \pm\beta, \pm(\alpha + \beta), \pm(\beta + 2\alpha)\}.$$

• G_2 :

Dans cette situation, on a

$$\langle \beta, \alpha \rangle = -3 \quad \text{et} \quad \langle \alpha, \beta \rangle = -1.$$

on sait que

$$\dim G_2 = 14 \quad \text{et} \quad \text{rang } G_2 = 2$$

et par conséquent

$$|\Delta| = 14 - 2 = 12 = 2 \times 6.$$

Les éléments de Δ sont comme suit

$$\Delta = \{\pm\alpha, \pm\beta, \pm(\alpha + \beta), \pm(2\alpha + \beta), \pm(3\alpha + \beta), \pm(3\alpha + 2\beta)\}.$$

5.5 Racines simples

Soit Δ un système des racines d'un espace vectoriel E et W son groupe de Weyl tel que

$$\text{rang } \Delta = \dim E = \ell = \text{rang } g = \dim H$$

Base de racines π :

Une partie π tel que

$$\pi = \{\alpha_i, i = 1, \dots, \ell\} \subset \Delta$$

est dite une base de Δ , si nous avons les conditions suivantes:

- π est une base de E
- $\forall \beta \in \Delta$ on a $\beta = \sum_{i=1}^{\ell} k_i \alpha_i$ ou $\{k_i < 0, k_i > 0\}$, où k_i sont des entiers de même signe.

Remarques:

1. Si $k_i > 0$, β une racine positive et si $k_i < 0$ alors β une racine négative.
2. Les éléments de π sont appelés racines simples ($\alpha_i = \sum k_j \alpha_j \notin \pi$).
3. Les racines simples permettent de déterminer totalement l'algèbre.

Propriétés :

- Au lieu de dire une base on dit un système de racines simples π .
- $\text{Card } \pi = \text{rang } g = \dim H = \dim E = \ell$.
- La décomposition $\beta = \sum_i k_i \alpha_i$ est unique.

Exemple : Nous illustrons l'exemple A_2 . Les éléments de Δ (racines) sont

$$\Delta(A_2) = \{\pm\alpha, \pm\beta, \pm(\alpha + \beta)\}$$

On remarque que les racines simples sont

$$\pi(A_2) = \{\alpha, \beta\}.$$

Pour terminer ce chapitre, nous allons présenter des propositions sur π . Cependant, pour plus de détails, on peut se référer aux livres [1,2].

Propositions:

- $\langle \alpha_i, \alpha_j \rangle \leq 0$
- $\alpha_i - \alpha_j \in \Delta$.
- W est un groupe de Weyl engendré par σ_{α_i} .
- Soient π et π' deux bases de Δ et W est le groupe de Weyl associé à Δ , alors il existe $\sigma \in W$ telle que $\sigma(\alpha) \in \pi$.

Chapter 6

Matrices de Cartan et diagrammes de Dynkin

Maintenant que la notion de racines simples est mise en place, on peut donner la classification des algèbres de Lie. Premièrement, nous allons parler d'une matrice qui donne un renseignement sur la longueur des racines et l'angle entre elles. Par la suite, nous présentons un diagramme permettant de retrouver les mêmes données.

6.1 Matrice de Cartan

6.1.1 Définition

Soit g une algèbre de Lie de dimensions finie. On appelle la matrice de Cartan associée à Δ relativement à π , la matrice K de coefficients

$$K_{ij} = \langle \alpha_i, \alpha_j \rangle = 2 \frac{\alpha_i \cdot \alpha_j}{\alpha_j \cdot \alpha_j}$$

où les α_i sont des racines simples.

Remarques:

- K une matrice carrée $\ell \times \ell$, où ℓ est le rang de g .

- Il y a seulement les possibilités suivantes

$$K_{ii} = 2, \quad \forall i, i = 1, \dots, \ell$$

$$K_{ij} = 0, -1, -2, -3, \quad i \neq j.$$

6.1.2 Exemples

Nous donnons quelque exemples.

Exemple 1: Pour l'algèbre A_1 , la matrice de Cartan se réduit à

$$K = 2.$$

Exemple 2: Présentons les algèbres ayant le rang 2. En effet, nous avons quatre possibilités

1. Algèbre de Lie $A_1 \oplus A_1$. Sa matrice de Cartan est comme suit

$$K = \begin{pmatrix} 2 & 0 \\ 0 & 2 \end{pmatrix}.$$

2. La matrice de Cartan associée à A_2 est donnée par

$$K = \begin{pmatrix} 2 & -1 \\ -1 & 2 \end{pmatrix}$$

3. La matrice de Cartan associée à B_2 est comme suit

$$K = \begin{pmatrix} 2 & -2 \\ -1 & 2 \end{pmatrix}.$$

4. On définit l'algèbre de Lie G_2 avec la matrice de Cartan suivante:

$$K = \begin{pmatrix} 2 & -1 \\ -3 & 2 \end{pmatrix}.$$

6.1.3 Propriétés de la matrice de Cartan

Soit K une matrice de Cartan

$$K = \begin{pmatrix} \langle \alpha_1, \alpha_1 \rangle & \langle \alpha_1, \alpha_2 \rangle & \dots \\ \langle \alpha_2, \alpha_1 \rangle & \langle \alpha_2, \alpha_2 \rangle & \dots \\ \dots & \dots & \dots \end{pmatrix}.$$

Nous avons les propriétés suivants:

- Les entrées $K_{ij} \in \mathbb{Z}$.
- K dépend de l'ordre des racines α_i de π .
- K ne dépend pas de la base π .
- La matrice de Cartan est non dégénérée si $\det(A) \neq 0$.

Proposition:

Soient (Δ, E) et (Δ', E') deux systèmes des racines ayant pour base $\pi = \{\alpha_i\}$ et $\pi' = \{\beta_i\}$ respectivement. Si la matrice de Cartan K coïncide avec K'

$$\langle \alpha_i, \alpha_j \rangle = \langle \beta_i, \beta_j \rangle$$

alors

- La bijection $\Phi : \alpha_i \rightarrow \beta_i$ se prolonge de façon unique en isomorphisme $\Phi : E \rightarrow E'$

$$\Phi(\Delta) = \Delta'$$

et

$$\langle \Phi(\alpha), \Phi(\beta) \rangle = \langle \alpha, \beta \rangle, \quad \forall \alpha, \beta \in \Delta.$$

- La matrice de Cartan K détermine le système des racines de façon unique à un isomorphisme près.

6.2 Graphes de Coxeter et diagrammes de Dynkin

6.3 Graphes de Coxeter

Le but de diagramme de Coxeter est de récapituler les informations de la matrice de Cartan en un diagramme. On appelle graphe de Coxeter de Δ relativement à π le graphe

dont les vertex sont les éléments de π et les vertex α_i et α_j ($i \neq j$) sont joints par $\langle \alpha_i, \alpha_j \rangle \langle \alpha_j, \alpha_i \rangle$ lignes où $0 \leq \langle \alpha_i, \alpha_j \rangle \langle \alpha_j, \alpha_i \rangle \leq 4$. Les valeurs possibles de $\langle \alpha_i, \alpha_j \rangle \langle \alpha_j, \alpha_i \rangle$ sont $\{0, 1, 2, 3, 4\}$.

Ce graphe est représenté comme suit

- Les racines α_i sont représentées par des vertex.
- L'angle entre les racines est représenté par le nombre de lignes, reliant ces deux racines.

Remarque: Si α_i et α_j sont deux racines simples tel que

$$|\alpha_i| = |\alpha_j|$$

alors K est symétrique

$$K_{ij} = K_{ji}.$$

Cette condition permet de classifier les algèbres de Lie simplement lacées, ADE . La condition $K_{ij} \neq K_{ji}$ détermine les algèbres de Lie non simplement lacées C_n, B_n, F_4, G_2 où $|\alpha_i| \neq |\alpha_j|$.

6.3.1 Diagrammes de Dynkin

En réalité le graphe de Coxeter ne suffit pas à déterminer la matrice de Cartan, il ne fournit que les angles entre les racines simples, sans indiquer laquelle est la plus longue. Il faut remplacer les diagramme de Coxeter par des diagrammes orientés.

Définition:

C'est un graphe de Coxeter (orienté) qui dans le cas où 2 vertex i et j ont une flèche partant de la racine longue vers la racine courte $|\alpha_i| \geq \|\alpha_j\|$.

Nous présentons des exemples:

Exemple 1: Le diagramme de Dynkin de A_1 .

Rappelons que le rang de A_1 est 1, on n'a qu'une racine simple α . Son digramme est comme suit

$$A_1 : \quad \bigcirc$$

Exemple 2: Le diagramme de Dynkin de $A_1 \oplus A_1$.

C'est un diagrammes de Dynkin à deux vertex séparés:

$$A_1 \oplus A_1 : \quad \bigcirc \quad \bigcirc$$

Exemple 3: Le diagramme de Dynkin de A_2 .

C'est un diagramme de Dynkin à deux vertex connectés par une seule ligne:

$$A_2 : \quad \bigcirc \text{---} \bigcirc$$

Exemple 4: Le diagramme de Dynkin de D_4 .

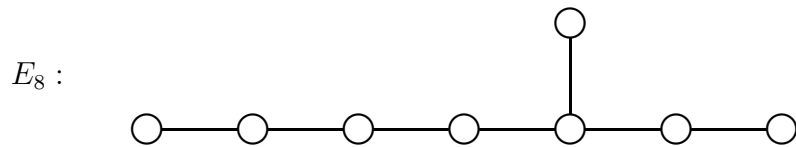
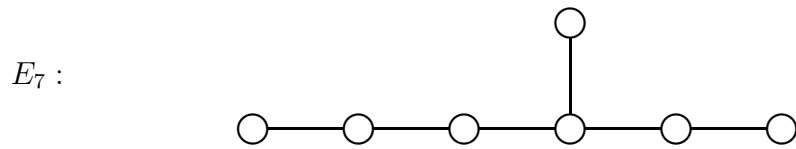
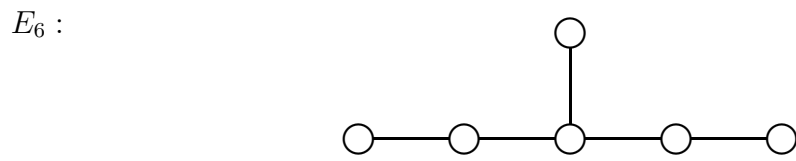
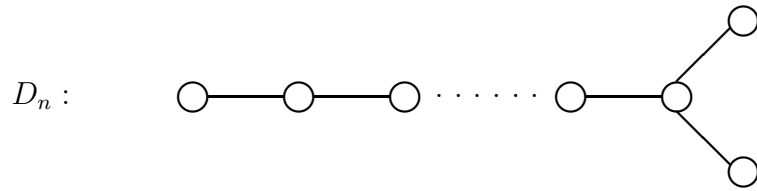
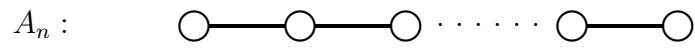
C'est un diagrammes de Dynkin qui contient un vertex trivalent:

$$D_4 : \quad \begin{array}{c} \bigcirc \\ \text{---} \\ \bigcirc \text{---} \bigcirc \\ \text{---} \\ \bigcirc \end{array}$$

Les diagrammes de Dynkin permettent de classifier les algèbres de Lie. Rappelons la classification *ADE*:

1. Algèbres de Lie A_n : isomorphe à $sl(n+1, C)$, ($n \geq 1$)
2. Algèbres de Lie B_n : isomorphe à $so(2n+1, C)$, ($n \geq 2$)
3. Algèbres de Lie D_n : isomorphe à $so(2n)$, ($n \geq 4$)
4. Algèbres exceptionnelles: E_6, E_7, E_8, F_4 et G_2 .

Les diagrammes de Dynkin de ADE sont classés comme suit



Chapter 7

Généralités sur la théorie des groupes

Dans ce chapitre, nous allons donner des notions sur des la théorie des groupes. A travers des exemples, nous allons traiter plus particulièrement les trois catégories:

1. Groupes finis
2. Groupes discrets infinis
3. Groupes continus.

7.1 Structure du groupe

Définition: Un groupe G est un ensemble d'éléments muni d'une loi de composition telle que:

- La loi de composition est interne

$$g_1 \cdot g_2 \in G, \quad \forall g_1, g_2 \in G$$

- Il existe un élément neutre

$$e \cdot g = g \cdot e = g, \quad \forall g \in G$$

- Chaque élément possède un inverse tel que

$$g.g^{-1} = g^{-1}.g = e$$

- La loi de composition est associative

$$g_1.(g_2.g_3) = (g_1.g_2).g_3.$$

Remarques:

1. La loi de composition et les éléments définissent un groupe.
2. Ces deux informations peuvent être représentés dans une table de multiplication

	e	g_1	g_2	g_3
e	e	g_1	g_2	g_3
g_1	g_1	$g_1.g_1$	$g_1.g_2$	$g_1.g_3$
g_2	g_2	$g_2.g_1$	$g_2.g_2$	$g_2.g_3$
g_3	g_3	$g_3.g_1$	$g_3.g_2$	$g_3.g_3$
...

Table 7.1: La table de multiplication

3. La table de multiplication donne just des informations sur la structure abstraite du groupe.
4. Un groupe peut être abélien ou non abélien (commutatif, non commutatif).

Proposition:

Un groupe G est dit abélien si et seulement si

$$g_1.g_2 = g_2.g_1, \quad \forall g_1, g_2 \in G.$$

Dans ce cas, la table de multiplication est symétrique.

En générale, les groupes se divisent en trois catégories des groupes:

1. Groupes finis¹.
2. Groupes discret infinis².
3. Groupes continus.³

7.2 Exemples

Dans cette section, nous donnons quelques exemples.

7.2.1 Groupes finis

Les groupes finis sont les plus simples. Le nombre d'élément d'un groupe fini s'appelle l'ordre du groupe. On la note $|G|$.

• Par exemple, l'ensemble qui contient les deux nombres $+1$ et -1 , muni de la multiplication habituelle, forme un groupe abélien. Sa table de multiplication est donnée par

	1	-1
1	1	-1
-1	-1	1

Table 7.2: La table de multiplication de $(1,-1)$

- Groupes cycliques Z_n

Le groupe Z_n est défini par $Z_n = \{g^k, 1 \leq k \leq n, g^n = e\}$. L'ordre de Z_n est n . Tous les éléments s'écrivent comme puissances de l'un d'entre eux. Ce groupe est abélien.

Dans le cas $n = 2$, le groupe devient Z_2 et sa table de multiplication est donnée in (7.3).

¹Nombre finid'éléments

²Nombre infini d'éléments

³(nombre infinis d'éléments) et chaque élément est defini à travers des paramètres $g = f(\phi_1, \dots, \phi_n)$, où n le nombre des paramètres continus: la dimension du groupe.

	e	g
e	e	g
g	g	e

Table 7.3: La table de multiplication de Z_2

- Groupes symétriques S_n

Rappelons que les groupes symétriques ont une importance non négligeable dans certains domaines de la physique quantique. Dans un ensemble de n objets, il y a $n!$ permutations possibles qui déplacent les n objets d'une manière arbitraire. Ce groupe de permutations est noté par S_n et son ordre est

$$|S_n| = n!$$

Remarques:

- Pour $n = 2$, S_2 devient Z_2 et il est abélien.
- Pour $n \geq 3$, S_n est non abélien.

7.2.2 Groupes discrets infinis

Les exemples de groupes discrets infinis sont nombreux. Nous citons par exemple:

- L'exemple le plus simple est $(Z, +)$.
- Le groupe $SL(2, Z)$: le groupe des matrices 2×2 à coefficients dans Z et le déterminant 1. Rappelons que les éléments de $SL(2, Z)$ sont des matrices

$$M = \begin{pmatrix} a & b \\ c & d \end{pmatrix}$$

avec la condition $ad - bc = 1$, où $a, b, c, d \in Z$.

7.2.3 Groupes continus

En physique, les groupes continus sont appelés groupe de Lie. Dans ce cas, les éléments du groupe dépendent des paramètres réels continus indépendants. Le nombre de ces

paramètres est appelé la dimension du groupe. En effet, on a

$$g = f(\theta_1, \dots, \theta_n),$$

où n est la dimension du groupe.

Exemples:

- Le groupe de rotations de l'espace à 2 dimensions $SO(2)$. Sa dimension est 1 et chaque rotation est donnée par une matrice de la forme suivante

$$R = \begin{pmatrix} \cos \theta & -\sin \theta \\ \sin \theta & \cos \theta \end{pmatrix}.$$

- Le groupe de rotation $SO(n)$ de l'espace euclidien à n dimensions généralisant les rotations de à deux dimensions. Sa dimension est $\frac{n(n-1)}{2}$.

7.3 Classe d'un groupe

Soit G un groupe. On définit sur G la relation d'équivalence suivante:

$$a \sim b, \quad \text{si } \exists g \in G, \quad a = g.b.g^{-1}$$

Remarques:

- On dit aussi les éléments a et b sont conjugués.
- On remarque que a est conjugué de lui même $a = e.a.e^{-1}$.
- Si $a \sim b$ et $b \sim c$, alors $a \sim c$. En effet, on a

$$a \sim b \implies \text{telque } a = g.b.g^{-1} = g.g'.c.g'^{-1}g^{-1} = (g.g').c.(gg')^{-1}.$$

- Les classes d'équivalence réalisent une partition de G

$$G = \{\{e\}, \{..\}, \dots\}.$$

7.4 Sous groupes

7.4.1 Définitions

Définition 1: Un sous ensemble non vide H d'un groupe G est dit un sous groupe si la restriction de la loi de G à H détermine sur H une loi de groupe.

Définition 2:

Un sous ensemble H d'un groupe G est dit un sous groupe de G si et seulement si:

$$H \neq \phi$$

$$\forall x, y \in H, \quad x.y^{-1} \in H.$$

Démonstration: Puisque H est un sous groupe, H est non vide ($e \in H$).

Soit h un élément de H , alors nous avons $y^{-1} \in H, \forall y \in H$.

Pour tout élément x de H , on a aussi $x.y^{-1} \in H$ donc H est stable par l'inverse et la loi du groupe.

Soit H un sous ensemble tel que $\forall x, y \in H, \quad x.y^{-1} \in H$, on a

$$y = x \implies x.x^{-1} = e \in H$$

$$x = e, y = x \implies e.x^{-1} \in H \implies x^{-1} \in H$$

donc

$$x.(y^{-1})^{-1} \in H \implies x.y \in H.$$

Proposition: Si H est un sous groupe de G fini, alors on a

$$|H| \leq |G|.$$

7.4.2 Exemples

Nous donnons quelques exemples.

Exemple 1: L'élément neutre $\{e\}$ est un sous groupe de G . Puisque nous avons $\{e\} \neq \phi$ et $e.e^{-1} = e.e = e \in \{e\}$. Le sous groupe $\{e\}$ est un sous groupe trivial.

Remarque: Tout sous groupe différent de $\{e\}$ et G est dit propre.

Exemple 2: Le centre du groupe

On définit le centre de G comme suit

$$Z(G) = \{h \in G \mid hg = gh, \forall g \in G\}.$$

$Z(G)$ est un sous groupe de G abélien.

Démonstration

Soient h_1 et h_2 deux éléments de $Z(G)$, alors nous avons

$$\begin{aligned}
 e \in Z(G) &\implies e.g = g.e \\
 h_1, h_2 \in Z(G) &\implies h_1.h_2 \in Z(G) \\
 h_1h_2.g &= g.h_1h_2 \\
 (gh)^{-1} &= g^{-1}.h^{-1} = h^{-1}.g^{-1} \\
 g \in G, g^{-1} \in G &\implies h^{-1} \in Z(G).
 \end{aligned}$$

Exemple 3 : Le groupe de symétrie d'un triangle équilatéral.

Ce groupe noté D_3 possède six éléments. Ils sont classés comme suit:

- Trois réflexions $\sigma_1, \sigma_2, \sigma_3$.
- Trois rotations autour de l'axe z . Elles sont déterminées par les rotations d'angles: $0, \frac{2\pi}{3}, \frac{4\pi}{3} = -\frac{2\pi}{3}$, (avec 0 est l'élément neutre).

On note ces éléments par $\{e, C_3, C_{-3}\sigma_1, \sigma_2, \sigma_3\}$. Son ordre est donc $|D_3| = 6 < \infty$ (donc il est fini). Ce groupe n'est pas abélien puisque $\sigma_2 C_3 = \sigma_3 \neq C_3 \sigma_2 = \sigma_1$.

	e	σ_1	σ_2	σ_3	C_3	C_{-3}
e	e	σ_1	σ_2	σ_3	C_3	C_{-3}
σ_1	σ_1	e	C_3	C_{-3}	σ_2	σ_3
σ_2	σ_2	C_3	e	C_3	σ_3	σ_1
σ_3	σ_3	C_3	C_{-3}	e	σ_1	σ_2
C_3	C_3	σ_3	σ_1	σ_2	C_{-3}	e
C_{-3}	C_{-3}	σ_2	σ_3	σ_1	e	C_3

Table 7.4: La table de multiplication de D_3

Les sous groupes de D_3 sont classés comme suit:

1. L'éléments neutre $\{e\}$: un sous groupe trivial d'ordre 1.

2. $\{e, \sigma_1\}$: un sous groupe propre d'ordre 2
3. $\{e, \sigma_2\}$: un sous groupe propre d'ordre 2
4. $\{e, \sigma_3\}$: un sous groupe propre d'ordre 2
5. $\left\{e, \frac{2\pi}{3}, \frac{-2\pi}{3}\right\}$: un sous groupe propre d'ordre 3. (avec $C_3 \equiv \frac{2\pi}{3}, C_{-3} \equiv \frac{-2\pi}{3}$).

Définition:

Un sous groupe H est dit invariant si et seulement si:

$$g.h.g^{-1} \in H, \forall h \in H, \forall g \in G.$$

Exemple: Le centre de G est un sous groupe invariant

$$\forall h \in Z(G), \quad g.h^{-1}.g^{-1} = g.g^{-1}.h^{-1} = h^{-1} \in H.$$

7.5 Homomorphismes

On considère deux groupes G et G' et une application φ de G dans G' . On dit que φ est un homomorphisme si nous avons

$$\forall (g_1, g_2) \in G, \quad \varphi(g_1.g_2) = \varphi(g_1).\varphi(g_2).$$

Si φ un homomorphisme, alors

- $\varphi(e)$ est l'élément neutre de G' .
- $\varphi(g^{-1})$ est l'inverse de $\varphi(g)$.

Définition: Le noyau d'un homomorphisme est défini par

$$\text{Ker}\varphi = \{g \in G \mid \varphi(g) = e\}$$

Pour terminer ce chapitre, nous présentons quelques propositions:

1. $\text{Ker}\varphi$ est un sous groupe invariant de G . Il faut montrer si $h \in \text{Ker}\varphi$, alors $g.h.g^{-1} \in \text{Ker}\varphi, \forall g \in G$. En effet,

$$\varphi(g.h.g^{-1}) = \varphi(g)\varphi(h)\varphi(g^{-1})$$

$$\begin{aligned} &= \varphi(g)\varphi(g^{-1}) \\ &= \varphi(gg^{-1}) \\ &= \varphi(e) \\ &= e \end{aligned}$$

et par conséquent $g.h.g^{-1} \in Ker \varphi$.

2. Si φ est bijectif, φ est un homomorphisme.

Chapter 8

Représentations des Groupes

8.1 Définitions et exemples

En physique, si une théorie possède une invariance sous un groupe, il faut savoir comment le groupe agit sur les variables et les grandeurs physiques en utilisant des représentations.

8.1.1 Représentations

Considérons un groupe d'éléments ($G = \{e, g, \dots\}$). Une représentation de G est un ensemble des matrices $D(g)$ (une matrice pour chaque élément), qui se composent exactement comme les éléments du groupe. Ces matrices satisfont les relations suivantes

$$D(g_1 g_2) = D(g_1) D(g_2)$$

$$D(e) = I_{n \times n}$$

$$D(g^{-1}) = (D(g))^{-1}.$$

Remarques:

1. Une représentation est un homomorphisme.

2. Pour chaque g , $D(g)$ est une matrice $n \times n$, où n est la dimension de la représentation:

$$D(g) = \left(\begin{array}{c} \\ \text{matrice} \\ \\ \end{array} \right)_{n \times n} .$$

3. Les matrices $D(g)$ sont supposées inversibles.

4. Si G est défini comme un groupe des matrices, ($SO(n)$ par exemple), sa définition est donnée en terms d'une représentation.

Remarque: Représentation triviale

On peut associer à tout élément g la matrice identité $I_{n \times n}$ (la matrice carrée avec des 1 sur la diagonale et des 0 partout ailleurs). Cette représentation est dite *triviale*.

8.1.2 Représentation fidèle

Lorsque $g_1 \neq g_2$ et $D(g_1) \neq D(g_2)$, la représentation est dite *fidèle*. En effet, on a

$$g_1 \neq g_2 \iff D(g_1) \neq D(g_2) .$$

Dans cette représentation, la correspondance ($G \rightarrow \text{matrices}$)

$$\left(\begin{array}{c} e \\ g_1 \\ \cdot \\ \cdot \\ \cdot \\ g_n \end{array} \right) \longmapsto \left(\begin{array}{c} I_{n \times n} \\ D(g_1) \\ \cdot \\ \cdot \\ \cdot \\ D(g_n) \end{array} \right)$$

est un isomorphisme.

Exemples:

1. Notre premier exemple simple est $G = \{e\}$. La structure du groupe est donnée par $e \cdot e = e$. Alors on peut représenter ce groupe par une représentation de dimension 1 comme suit $e = 1$. Une représentation de dimension 2 est donnée par

$$e = \begin{pmatrix} 1 & 0 \\ 0 & 1 \end{pmatrix}.$$

2. Le deuxième exemple est le groupe cyclique noté $Z_2 = \{e, g\}$ tel que $g \cdot g = g^2 = e$. Sa structure est comme suit

$$e \cdot e = e$$

$$e \cdot g = g \cdot e = g.$$

$$g \cdot g = e$$

Parmi les représentations de Z_2 , on cite:

- Représentation triviale de dimension 1

$$e = 1, \quad g = 1$$

- Représentation triviale de dimension 2

$$e = \begin{pmatrix} 1 & 0 \\ 0 & 1 \end{pmatrix}, \quad g = \begin{pmatrix} 1 & 0 \\ 0 & 1 \end{pmatrix}$$

- Représentation non triviale et fidèle de dimension 1

$$e = 1, \quad g = -1$$

- Représentation non triviale et fidèle de dimension 2

$$e = \begin{pmatrix} 1 & 0 \\ 0 & 1 \end{pmatrix}, \quad g = \begin{pmatrix} 1 & 0 \\ 0 & -1 \end{pmatrix}$$

3. Le groupe de Lie $SO(2)$ est donné par

$$SO(2) = \{M_{2 \times 2}, \det M = 1, MM^T = 1\},$$

qui est un cas particulier de $SO(n)$

$$SO(n) = \{M_{n \times n}, \det M = 1, MM^T = 1_{n \times n}\},$$

admet une représentation de dimension 2

$$g_\theta = \begin{pmatrix} \cos \theta & \sin \theta \\ -\sin \theta & \cos \theta \end{pmatrix}$$

où $g_{(\theta=0)} = e = I_{2 \times 2}$ et $(g_\theta)^{-1} = g_{-\theta}$.

8.1.3 Représentations irréductibles et caractères

Soient $D_1(g)$ et $D_2(g)$ deux représentations de G de même dimension n . S'il existe une matrice A (inversible) telle que $D_2(g) = A^{-1}D_1(g)A$, alors $D_1(g)$ et $D_2(g)$ sont dites représentations équivalentes.

Remarque: On peut considérer A comme une matrice de passage agissant sur des bases $(\{\alpha_i\})$ et $(\{\beta_i\})$ d'un espace de représentation E comme suit $A : \{\alpha_i\} \rightarrow \{\beta_i\}$.

Définition: On appelle caractère d'une représentation l'ensemble des nombres

$$\chi(g) = \text{Tr}(D(g)).$$

Dans une base $\{|i\rangle\}$ de E , si $D(g)$

$$D(g)_{ij} = \langle i | D(g) | j \rangle.$$

alors on écrit son caractère par les traces des matrices

$$\chi(g) = \sum_i D_{ii}(g) = \sum_i \langle i | D(g) | i \rangle.$$

Remarques:

1. Pour une représentation donnée, les caractères de tous les éléments d'une même classe sont égaux. En effet, si on a deux éléments conjugués alors il existe un $g \in G$ tel que $g_1 = gg_2g^{-1}$, et donc on a $D(g_1) = D(gg_2g^{-1})$. En effet, nous avons

$$D(g_1) = D(g)D(g_2)D(g)^{-1}.$$

Si on calcule la trace, on trouve

$$\begin{aligned} \text{Tr}D(g_1) &= \text{Tr}(D(g)D(g_2)D(g)^{-1}) = \text{Tr}(D(g)D(g^{-1})D(g_2)) = \text{Tr}(D(g_2)) \\ &= \chi(g_1) = \chi(g_2). \end{aligned}$$

2. Deux représentations équivalentes ont même caractères $\chi(g)$ pour tous les éléments de G . Soient D_1 et D_2 deux représentations équivalentes

$$D_2(g) = A^{-1}D_1(g)A$$

En effet, soit g un élément de g . On a

$$\begin{aligned} \chi_2(g) &= \text{Tr}D_2(g) = \text{Tr}A^{-1}D_1(g)A \\ &= \text{Tr}A^{-1}AD_1(g) \\ &= \text{Tr}D_1(g) \\ &= \chi_1(g). \end{aligned}$$

3. Le caractère de l'élément neutre (identité) du groupe, donne la dimension de la représentation

$$\chi(e) = \dim D.$$

Considérons par exemple le cas du groupe Z_2 , constitué des éléments e et g tel que $g.g = e$. On connaît les représentations de Z_2 . Il y a une représentation triviale où tout élément correspond à la valeur 1:

$$D(e) = 1, \quad D(g) = 1$$

par conséquent

$$\chi(e) = 1, \quad \chi(g) = 1.$$

Pour la deuxième représentation de dimension 1 (non triviale), on a

$$\chi(e) = 1, \quad \chi(g) = -1.$$

Il y a aussi une représentation de dimension deux

$$D_2(e) = \begin{pmatrix} 1 & 0 \\ 0 & 1 \end{pmatrix} \rightarrow \chi(e) = 2 = \dim D_2$$

$$D_2(g) = \begin{pmatrix} 1 & 0 \\ 0 & -1 \end{pmatrix} \rightarrow \chi(g) = 0.$$

Représentations réductibles (irréductibles)

La somme (directe) de deux représentations $D_1(g)$ et $D_2(g)$ d'un même groupe G de dimension respectives n_1 et n_2 est donnée par la matrice $n \times n$ ($n = n_1 + n_2$):

$$D(g) = D_1(g) \oplus D_2(g) = \begin{pmatrix} D_1(g) & 0 \\ 0 & D_2(g) \end{pmatrix}.$$

Dans ce cas, les caractères sont les sommes

$$\chi(D(g)) = \chi_1(g) + \chi_2(g).$$

Définition: Une représentation $D(g)$ est dite réductible si elle est équivalente à une représentation qui est une somme des représentations du même groupe. Autrement, il faut trouver une matrice A telle que

$$D(g) = A^{-1}D(g)A = \begin{pmatrix} D_1(g) & 0 \\ 0 & D_2(g) \end{pmatrix}.$$

Dans le cas contraire, elle est irréductible.

Remarque: Les représentations irréductibles d'un groupe abélien sont toutes de dimension 1.

8.2 Représentation des groupes finis

Dans cette partie, nous allons nous intéresser aux représentations irréductibles des groupes finis.

Lemme de Schur:

Si une matrice A commute avec toutes les matrices d'une représentation irréductible (de dimension n)

$$AD(g) = D(g)A \quad g \in G,$$

alors $A = \lambda I_{n \times n}$.

Relation d'orthogonalité:

Considérons un groupe fini G d'ordre n . Soient $D^{(\alpha)}(g)$ des représentations irréductibles et n_α leurs dimensions. Soit $\chi^\alpha(g)$ le caractère de $D^\alpha(g)$. Les matrices $D^{(\alpha)}$ satisfont les propriétés d'orthogonalité suivantes

$$\frac{1}{n} \sum_g D_{ab}^{(\alpha)}(g) D_{a'b'}^{(\alpha')}(g)^* = \frac{1}{n_\alpha} \delta_{\alpha\alpha'} \delta_{aa'} \delta_{bb'}$$

et leurs caractères satisfont aussi

$$\frac{1}{n} \sum_g \chi^{(\alpha)}(g) \chi^{(\alpha')}(g)^* = \delta_{\alpha\alpha'}.$$

Exemple: Le groupe cyclique $Z_2 = \{e, g\}$.

Il y a deux représentations irréductibles non équivalentes

	e	g
D^{α_1}	1	1
D^{α_2}	1	-1

La propriété d'orthogonalité pour Z_2 s'écrit comme suit

$$\begin{aligned} \frac{1}{2} [D^{\alpha_1}(e) D^{\alpha_2}(e) + D^{\alpha_1}(g) D^{\alpha_2}(g)] &= 0 \\ \frac{1}{2} [D^{\alpha_1}(e) D^{\alpha_1}(e) + D^{\alpha_1}(g) D^{\alpha_1}(g)] &= 1. \end{aligned}$$

Théorème: Les dimension n_α satisfont

$$n = \sum_{\alpha} n_{\alpha}^2.$$

Proposition : Si G est un groupe abélien d'ordre n alors $n = 1^2 + 1^2 + 1^2 + \dots + 1^2$.

Exemple: Pour le groupe Z_2 , on a $2 = 1^2 + 1^2$.

8.3 Tables de caractères

Dans cette partie, nous étudions la théorie des caractères. On va construire une table donnant l'ensemble des caractères d'un groupe G fini. En effet, l'ensemble des caractères irréductibles de G forme une base orthonormale. Il se trouve que, qu'il y a donc exactement autant de caractères irréductibles (représentations irréductibles non-isomorphes) de G que de classes de conjugaison dans G .

A titre illustratif, nous donnons quelques exemples.

Exemple 1:

Considérons un groupe G qui contient 4 éléments $G = \{e, C_2, \sigma_1, \sigma_2\}$. On va donner la

table de multiplication à travers l'action de G sur un vecteur à 3 dimensions $\begin{pmatrix} x \\ y \\ z \end{pmatrix}$. En

effet, nous avons les actions suivantes

$$e \cdot \begin{pmatrix} x \\ y \\ z \end{pmatrix} \longrightarrow \begin{pmatrix} x \\ y \\ z \end{pmatrix}, \quad C_2 \cdot \begin{pmatrix} x \\ y \\ z \end{pmatrix} \longrightarrow \begin{pmatrix} -x \\ -y \\ z \end{pmatrix}$$

$$\sigma_1 \cdot \begin{pmatrix} x \\ y \\ z \end{pmatrix} \longrightarrow \begin{pmatrix} x \\ -y \\ z \end{pmatrix}, \quad \sigma_2 \cdot \begin{pmatrix} x \\ y \\ z \end{pmatrix} \longrightarrow \begin{pmatrix} -x \\ y \\ z \end{pmatrix}.$$

La table de multiplication de ce groupe est donnée par

	e	C_2	σ_1	σ_2
e	e	C_2	σ_1	σ_2
C_2	C_2	e	σ_2	σ_1
σ_1	σ_1	σ_2	e	C_2
σ_2	σ_2	σ_1	C_2	e

On voit que la table de multiplication est symétrique, donc le groupe est abélien. Le groupe G possède 4 représentations irréductibles car c'est son nombre de classes de conjugaison. En particulier, on peut remarquer également que

$$4 = 1 + 1 + 1 + 1.$$

Par conséquent G possède 4 caractères. Il est facile de voir que les sous groupes de G sont de type Z_2

$$\{e, \sigma_1\}, \{e, \sigma_2\}, \{e, C_1\}$$

avec la table de multiplication suivante

	e	$\sigma_1(\sigma_2, C_2)$
e	e	$\sigma_1(\sigma_2, C_2)$
$\sigma_1(\sigma_2, C_2)$	$\sigma_1(\sigma_2, C_2)$	e

Pour construire la table des caractères de G , on va utiliser la table de caractères de Z_2 .

Pour le moment, on a la table de caractères suivante:

	e	C_2	σ_1	σ_2
χ_1^1	1	1	1	1
χ_2^1	1	a_1	a_2	a_3
χ_3^1	1	b_1	b_2	b_3
χ_4^1	1	c_1	c_2	c_3

Pour avoir a_i , b_i et c_i il suffit d'utiliser l'orthogonalité des colonnes de la table de caractères.

Il faut résoudre les équations suivantes

$$\langle \chi_1^1, \chi_2^1 \rangle = \langle \chi_1^1, \chi_3^1 \rangle = \langle \chi_1^1, \chi_4^1 \rangle = 0$$

En effet, on a

$$1 + \chi_i^1(C_2) + \chi_i^1(\sigma_1) + \chi_i^1(\sigma_2) = 0, \quad i = 1, 2, 3.$$

Pour trouver la solution, on remarque tout d'abord que a_i, b_i et c_i sont égaux à 1 ou -1. En utilisant les sous groupes de type Z_2 et le caractère non trivial, on trouve que exactement deux des a_i (b_i, c_i) valent -1. Donc finalement la table de caractères de G est donnée par

	e	C_2	σ_1	σ_2
χ_1^1	1	1	1	1
χ_2^1	1	-1	1	-1
χ_3^1	1	-1	-1	1
χ_4^1	1	1	-1	-1

Exemple 2: groupe S_3 .

Commençons d'abord par rappeler que S_3 est d'ordre 6 ($|S_3| = 6 = 3!$). S_3 contient les éléments

$$\begin{pmatrix} 1 & 2 & 3 \\ 1 & 2 & 3 \end{pmatrix}, \begin{pmatrix} 1 & 2 & 3 \\ 1 & 3 & 2 \end{pmatrix}, \begin{pmatrix} 1 & 2 & 3 \\ 3 & 2 & 1 \end{pmatrix}, \begin{pmatrix} 1 & 2 & 3 \\ 2 & 1 & 3 \end{pmatrix}, \begin{pmatrix} 1 & 2 & 3 \\ 3 & 1 & 2 \end{pmatrix}, \begin{pmatrix} 1 & 2 & 3 \\ 2 & 3 & 1 \end{pmatrix}.$$

Les dimensions des représentations irréductibles satisfont la relation suivante

$$6 = \sum_{\alpha} n_{\alpha}^2$$

Pour S_3 , on a 3 classes de conjugaison différents qui sont comme suit

$$\left\{ \begin{pmatrix} 1 & 2 & 3 \\ 1 & 2 & 3 \end{pmatrix} \right\}, \left\{ \begin{pmatrix} 1 & 2 & 3 \\ 1 & 3 & 2 \end{pmatrix}, \begin{pmatrix} 1 & 2 & 3 \\ 3 & 2 & 1 \end{pmatrix}, \begin{pmatrix} 1 & 2 & 3 \\ 2 & 1 & 3 \end{pmatrix} \right\}, \left\{ \begin{pmatrix} 1 & 2 & 3 \\ 3 & 1 & 2 \end{pmatrix}, \begin{pmatrix} 1 & 2 & 3 \\ 2 & 3 & 1 \end{pmatrix} \right\}.$$

Ces trois classes de conjugaison correspondent aux partitions suivantes $(.)(.)(.)$, $(.)(.)(.)(.)(.)(.)$, $(.)(.)(.)(.)(.)(.)$ qui possèdent 1, 3, 2 éléments respectivement. S_3 a 3 caractères car c'est son nombre de classes de conjugaison. En effet, nous avons

$$6 = \sum_{\alpha=1}^3 n_{\alpha}^2 = 1^2 + 1^2 + 2^2, \quad n_1 = 1, \quad n_2 = 1, \quad n_3 = 2.$$

On a deux représentations de dimension 1 et une représentation de dimension 2. On obtient donc pour le moment la table de caractères (7.1) avec $\chi_3 = (2, a, b)$ où a, b sont deux coefficients à déterminer.

	$(\cdot)(\cdot)(\cdot)$	$(\cdot)(\cdot\cdot)$	(\dots)
χ_1	1	1	1
χ_2	1	-1	1
χ_3	2	a	b

Table 8.1: La table de multiplication

Pour avoir a et b il suffit d'utiliser l'orthogonalité des colonnes de la table de caractères. En effet, l'orthogonalité des caractères donne tout de suite

$$\begin{aligned}\langle \chi_1 | \chi_2 \rangle &= \frac{1}{6} [2 + 3a + 2b] = 0 \\ \langle \chi_1 | \chi_3 \rangle &= \frac{1}{6} [2 - 3a + 2b] = 0,\end{aligned}$$

ceci nous donne que $a = 0$ et $b = -1$. Donc la table de caractères de S_3 prend la forme suivante

	$(\cdot)(\cdot)(\cdot)$	$(\cdot)(\cdot\cdot)$	(\dots)
χ_1	1	1	1
χ_2	1	-1	1
χ_2	2	0	-1

La représentation irréductible de dimension 2 de S_3 est donnée par

$$\begin{aligned}\begin{pmatrix} 1 & 2 & 3 \\ 1 & 2 & 3 \end{pmatrix} &\equiv \begin{pmatrix} 1 & 0 \\ 0 & 1 \end{pmatrix}, & \begin{pmatrix} 1 & 2 & 3 \\ 1 & 3 & 2 \end{pmatrix} &\equiv \frac{1}{2} \begin{pmatrix} 1 & \sqrt{3} \\ -\sqrt{3} & -1 \end{pmatrix}, \\ \begin{pmatrix} 1 & 2 & 3 \\ 3 & 2 & 1 \end{pmatrix} &\equiv \frac{1}{2} \begin{pmatrix} 1 & \sqrt{3} \\ \sqrt{3} & -1 \end{pmatrix}, & \begin{pmatrix} 1 & 2 & 3 \\ 2 & 1 & 3 \end{pmatrix} &\equiv \begin{pmatrix} -1 & 0 \\ 0 & 1 \end{pmatrix}\end{aligned}$$

$$\begin{pmatrix} 1 & 2 & 3 \\ 1 & 3 & 2 \end{pmatrix} \equiv \frac{1}{2} \begin{pmatrix} -1 & \sqrt{3} \\ -\sqrt{3} & -1 \end{pmatrix}, \quad \begin{pmatrix} 1 & 2 & 3 \\ 1 & 3 & 2 \end{pmatrix} \equiv \frac{1}{2} \begin{pmatrix} -1 & -\sqrt{3} \\ \sqrt{3} & -1 \end{pmatrix}.$$

Exemple 3: groupe S_4 : Exercice

Chapter 9

Groupes de Lie

Les groupes de Lie G dépendent de paramètres continus. En générale, chaque élément g est déterminé par

$$g = g(\theta_1, \dots, \theta_n), \quad \text{et} \quad e = f(0, 0, \dots, 0)$$

où n est la dimension de G .

Commençons par un exemple particulièrement simple.

9.1 Le groupe de Lie $SO(2)$

$SO(2)$ est le groupe des rotations en deux dimensions. Il dépend d'un seul paramètre continu à savoir θ où $0 \leq \theta \leq 2\pi$. Il contient une représentation *unitaire* de dimension deux¹. Cette représentation bi-dimensionnelle est dite aussi représentation fondamentale du groupe $SO(2)$. Dans ce cas, on a

$$D(\theta) = \begin{pmatrix} \cos \theta & -\sin \theta \\ \sin \theta & \cos \theta \end{pmatrix},$$

avec

$$D(\theta)D(\theta) = D(\theta)D^T(\theta) = 1$$

$$\det D(\theta) = 1.$$

¹ *rep. unitaire* : $g \rightarrow$ opérateur unitaire. Une fois on a une base $g \rightarrow$ Matrice

La loi de composition de deux rotations est donnée par

$$D(\theta)D(\theta') = D(\theta + \theta' \text{ mod } 2\pi).$$

Remarques

1. $SO(2)$ est un groupe abélien. En effet, on a

$$D(\theta)D(\theta') = D(\theta')D(\theta) = D(\theta + \theta' \text{ mod } 2\pi)$$

2. Utilisant le fait que $\theta = n\frac{\theta}{n} = \frac{\theta}{n} + \frac{\theta}{n} + \dots + \frac{\theta}{n}$, on peut démontrer que

$$D(\theta) = \left[D\left(\frac{\theta}{n}\right) \right]^n.$$

Si on prend $n \rightarrow \infty$, on trouve des rotations (transformations) infinitésimales d'angle $\frac{\theta}{n}$.

Dans ce cas, on a

$$\begin{aligned} D\left(\frac{\theta}{n}\right) &= \begin{pmatrix} \cos \frac{\theta}{n} & -\sin \frac{\theta}{n} \\ \sin \frac{\theta}{n} & \cos \frac{\theta}{n} \end{pmatrix} \\ &= \begin{pmatrix} 1 + \dots & -\frac{\theta}{n} + \dots \\ \frac{\theta}{n} + \dots & 1 + \dots \end{pmatrix} \\ &= \begin{pmatrix} 1 & 0 \\ 0 & 1 \end{pmatrix} + i\frac{\theta}{n} \begin{pmatrix} 0 & i \\ -i & 0 \end{pmatrix} \\ &= I_{2 \times 2} + i\frac{\theta}{n}T + \dots \end{aligned}$$

où T est une matrice hermitienne

$$T = \begin{pmatrix} 0 & i \\ -i & 0 \end{pmatrix} = T^+.$$

Calculons la puissance n (exercice). En effet, on trouve

$$D(\theta) = \sum_{k=0}^{\infty} \frac{(i\theta T)^k}{k!} = \exp(i\theta T), \quad T^2 = 1, \quad T^{2k+1} = T.$$

Si on prend $T = 0$, on trouve $D(\theta) = 1$ qui est la représentation triviale de dimension 1.

Si on pose $T = m$

$$D(\theta) = e^{im\theta}$$

où m est un entier, on trouve une famille des représentations non triviales de dimension 1 (où $m = 0$ est la représentation triviale).

Plus généralement, où nous avons plusieurs paramètres par exemple le groupe ($SO(n)$), on a la formule suivante:

$$D(g) = 1 + i \sum_{a=1}^{\dim G} \theta_a T^a + \dots$$

où les matrices T^a satisfont les relations suivantes

$$[T^a, T^b] = \sum_{c=1}^{\dim G} f_c^{ab} T^c.$$

9.2 Le groupe $SU(2)$

Le groupe $SU(2)$ est formé par des matrices unitaires (2×2) et de déterminant 1. La forme générale d'un élément de $SU(2)$ est donnée par

$$D(g) = \begin{pmatrix} a & b \\ -b^* & a^* \end{pmatrix}$$

où a et b sont deux complexes. La condition de unitarité et le déterminant = 1 est assurée par

$$|a|^2 + |b|^2 = 1.$$

La dimension de $SU(2)$ est $3(2 \times 2)$, deux complexes - une condition réelle = 3. Si on écrit les deux nombres complexes sous la forme suivante

$$a = a_1 + ia_2$$

$$b = b_1 + ib_2,$$

la condition $|a|^2 + |b|^2 = 1$ devient

$$a_1^2 + a_2^2 + b_1^2 + b_2^2 = 1$$

et montre que le groupe $SU(2)$ est comme une sphère S^3 dans l'espace R^4 .

Remarque: Le groupe $SU(2)$ est un groupe compact, ($SU(2) \sim S^3$).

Le groupe $SU(2)$ est paramétrisé par

$$\begin{aligned} a &= \cos \theta \cos \varphi e^{i\psi} \\ b &= \sin \theta \cos \varphi + i \sin \varphi. \end{aligned}$$

La représentation de dimension 2 de $SU(2)$ qui définit le groupe lui-même est

$$D(\theta, \varphi, \psi) = \begin{pmatrix} \cos \theta \cos \varphi e^{i\psi} & \sin \theta \cos \varphi + i \sin \varphi \\ -\sin \theta \cos \varphi + i \sin \varphi & \cos \theta \cos \varphi e^{-i\psi} \end{pmatrix}$$

où $\theta \in [0, 2\pi]$ et $(\psi, \varphi) \in \left[-\frac{\pi}{2}, \frac{\pi}{2}\right]$. Pour la suite, nous utiliserons le changement

$$\begin{aligned} \theta_1 &= \varphi \\ \theta_2 &= \theta \\ \theta_3 &= \psi \end{aligned}$$

ce qui nous permet de trouver la forme suivante

$$D(\theta_1, \theta_2, \theta_3) = \begin{pmatrix} \cos \theta_1 \cos \theta_2 e^{i\theta_3} & \sin \theta_1 \cos \theta_2 + i \sin \theta_1 \\ -\sin \theta_2 \cos \theta_1 + i \sin \theta_1 & \cos \theta_1 \cos \theta_2 e^{-i\theta_3} \end{pmatrix}.$$

Maintenant, on peut écrire

$$D(\theta_1, \theta_2, \theta_3) = I_{2 \times 2} + i \sum_{a=1}^3 \theta_a T^a + \dots$$

où

$$T^1 = \begin{pmatrix} 1 & 0 \\ 0 & 1 \end{pmatrix}, \quad T^2 = \begin{pmatrix} 0 & -i \\ i & 0 \end{pmatrix}, \quad T^3 = \begin{pmatrix} 1 & 0 \\ 0 & -1 \end{pmatrix}.$$

Les matrices T^a (matrices de Pauli) vérifient les relations de commutation suivantes

$$[T^a, T^b] = 2i\varepsilon_{abc}T^c.$$

9.3 Le groupe $SO(3)$

Ce sont les rotations en trois dimensions qui transforment un vecteur à trois composantes à un autre vecteur à trois composantes comme suit

$$R : \begin{pmatrix} V_1 \\ V_2 \\ V_3 \end{pmatrix} \rightarrow \begin{pmatrix} V'_1 \\ V'_2 \\ V'_3 \end{pmatrix}$$

où

$$R = \begin{pmatrix} & & \\ & & \\ & & \end{pmatrix}_{3 \times 3}$$

où $V' = RV$. La matrice R dépend en générale de trois paramètres (angles d'Euler). En utilisant les rotations infinitésimales, il est facile de trouver que,

$$R(\theta_1) R(\theta_2) R(\theta_3) = 1 + i\theta_1 J_1 + i\theta_2 J_2 + i\theta_3 J_3$$

où

$$J_1 = \begin{pmatrix} 0 & 0 & 0 \\ 0 & 0 & -i \\ 0 & i & 0 \end{pmatrix}, \quad J_2 = \begin{pmatrix} 0 & 0 & i \\ 0 & 0 & 0 \\ -i & 0 & 0 \end{pmatrix}, \quad J_3 = \begin{pmatrix} 0 & -i & 0 \\ i & 0 & 0 \\ 0 & 0 & 0 \end{pmatrix}.$$

On peut les exprimer aussi comme suit

$$(J_k)_{ij} = i\varepsilon_{kij}$$

à l'aide du tenseur ε_{kij} . Ces trois matrices J_i , ($i = 1, 2, 3$) satisfont les relations de commutation suivantes

$$[J_a, J_b] = i\varepsilon_{abc} J_c.$$

9.4 Représentations de $SO(3)$ et $SU(2)$

Les générateurs infinitésimaux J_i de $SO(3)$ et T_i de $SU(2)$ satisfont les mêmes relations de commutation. Ces générateurs sont reliés par la formule suivante

$$J_i = \frac{T_i}{2}.$$

Les représentations de $SU(2)$ et $SO(3)$ sont données par

$$D(\theta) = \exp\left(\sum_{i=1}^3 \theta_i J_i\right).$$

Représentation de $SU(2)$

Il est utile d'utiliser une base formée par les vecteurs

$$\{J_+, J_-, J_3\}$$

où $J_{\pm} = J_1 \pm iJ_2$. Ces générateurs J_1 , J_2 et J_3 sont hermitiennes et J_{\pm} ne le sont plus.

En effet, nous avons

$$J_3^+ = J_3, \quad J_{\pm}^+ = J_{\mp}.$$

Il est facile de calculer

$$\begin{aligned} [J_3, J_{\pm}] &= \pm J_{\pm} \\ [J_+, J_-] &= 2J_3, \end{aligned}$$

où J_3 et J_{\pm} sont des opérateurs agissant dans un espace vectoriel V . Pour donner une représentation, il faut chercher leurs actions sur V . Supposons que l'espace vectoriel V admet une représentation irréductible de dimension finie. Le but est de construire une base de V .

Remarque: Si $|m\rangle$ est un état propre de J_3 de valeur propre m , $J_3 |m\rangle = m |m\rangle$, alors $J_{\pm} |m\rangle$ sont également des états propres de J_3 de valeur propre $m \pm 1$.

En effet, on a

$$\begin{aligned} J_3 J_{\pm} | m \rangle &= ([J_3, J_{\pm}] + J_{\pm} J_3) | m \rangle \\ &= (\pm J_{\pm} + m J_{\pm}) | m \rangle \\ &= (m \pm 1) J_{\pm} | m \rangle. \end{aligned}$$

Considérons l'opérateur suivant

$$J^2 = J_1^2 + J_2^2 + J_3^2.$$

On peut vérifier que J^2 commute avec tous les J_i

$$[J^2, J_i] = 0, \quad i = 1, 2, 3.$$

Il est immédiat de calculer

$$\begin{aligned} [J^2, J_1] &= [J_3^2 + J_2^2, J_1] \\ &= [J_2^2, J_1] + [J_3^2, J_1] \\ &= J_2 [J_2, J_1] + [J_2, J_1] J_2 + J_3 [J_3, J_1] + [J_3, J_1] J_3 \\ &= -i J_2 J_3 - i J_3 J_2 + i J_3 J_2 + i J_2 J_3 \\ &= 0. \end{aligned}$$

J^2 est dit l'opérateur de Casimir. On peut l'écrire aussi comme suit

$$\begin{aligned} J^2 &= J_1^2 + J_2^2 + J_3^2 \\ &= J_- J_+ + J_3^2 + J_3 \\ &= J_+ J_- + J_3^2 - J_3 \end{aligned}$$

puisque $J_+ J_- = J_1^2 + J_2^2 + i [J_2, J_1] = J_1^2 + J_2^2 + J_3$.

J^2 commute avec les trois générateurs, alors $J^2 = \lambda 1$.

Soit $| j \rangle$ un état propre de J_3 . Nous obtenons la forme suivante

$$J^2 | j \rangle = J_- J_+ | j \rangle + J_3^2 | j \rangle + J_3 | j \rangle = J_- J_+ | j \rangle + (j^2 + j) | j \rangle.$$

Supposons que j est une valeur propre maximale autrement $J_+ |j\rangle = 0$, alors

$$J^2 |j\rangle = j(j+1) |j\rangle.$$

Finalement, nous donnons le résultat suivant:

- Pour chaque dimension de V , l'algèbre de Lie $su(2)$ et $so(3)$ possèdent des représentations irréductibles.
- La dimension de la représentation est $2j + 1$ avec $j = 0, \frac{1}{2}, 1, \frac{3}{2}, \dots$
- On a les relations suivantes

$$\begin{aligned} J_+ |m\rangle &= \sqrt{j(j+1) - m(m+1)} |m+1\rangle \\ J_3 |m\rangle &= m |m\rangle, \quad -j \leq m \leq j \\ J_- |m\rangle &= \sqrt{j(j+1) - m(m-1)} |m-1\rangle \end{aligned}$$

Exemple: $j = \frac{1}{2}$. On obtient la représentation de dimension 2 suivante

$$J_+ = \begin{pmatrix} 0 & 1 \\ 0 & 0 \end{pmatrix}, \quad J_- = \begin{pmatrix} 0 & 0 \\ 1 & 0 \end{pmatrix}, \quad J_3 = \begin{pmatrix} \frac{1}{2} & 0 \\ 0 & -\frac{1}{2} \end{pmatrix}.$$

9.5 Les groupes $SU(n)$ et $SO(n)$

9.5.1 Le groupe $SU(n)$

Le groupe $SU(n)$ possède une importance particulière en physique des particules. Par exemple, le groupe unitaire $U(1)$ qui est isomorphe à $SO(2)$ est le groupe de jauge de l'électromagnétisme, et $SU(2)$ est le groupe associé à l'interaction faible. Le groupe $SU(3)$ correspond à l'interaction forte (modèles des quarks).

$SU(n)$ est le groupe des matrices $n \times n$ unitaires à coefficients complexes et de déterminant 1:

$$SU(n) = \{M \in \mathcal{M}_n(\mathbb{C}) : \det M = 1, \quad MM^+ = I_{n \times n}\}.$$

Le $SU(n)$ est un groupe de Lie réel de dimension $n^2 - 1$ (compact). L'algèbre de Lie correspondant à $SU(n)$ est notée $A_{n-1} = su(n)$.

9.5.2 Le groupe $SO(n)$

Le groupe spécial orthogonal $SO(n, R)$ est le groupe des matrices orthogonales $n \times n$ à coefficients dans R :

$$SO(n) = \{M \in \mathcal{M}_n(R) : \det M = 1, \quad MM^t = I_{n \times n}\}$$

$SO(n)$ peut être considéré comme le groupe des rotations dans l'espace R^n . Il est compact et de dimension $\frac{n(n-1)}{2}$.

La deuxième partie de ces notes sera traitée prochainement.

Bibliography

- [1] J. E.Humphreys, Introduction to Lie Algebras and Representation Theory. Sauteur-Verlag, New York, 1978.
- [2] N. Jacobson, Lie algebras.
- [3] Wu-Ti Tung, Group Theory in Physics.
- [4] J.P. Elliott and P.G. Dawber, Symmetry in Physics, Vol. I, II.
- [5] M. Hamermesh, Group Theory and its Application to physical Problems.